

បច្ចេកវាងក្រោម

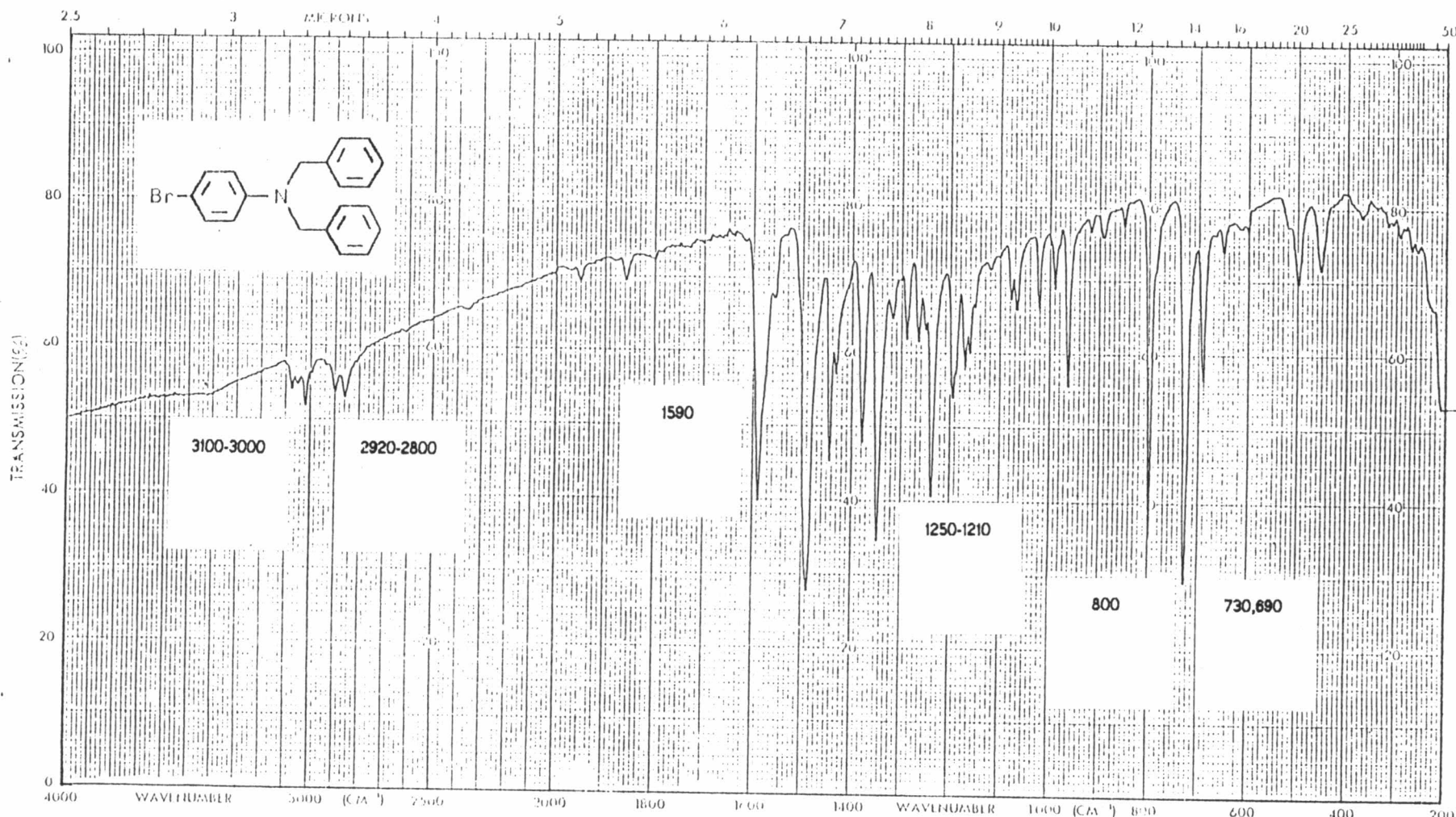
1. Wallace, R.A., King, J.L. and Sanders, G.P. Biology The Science of Life. Good Year publishing Company, Inc. California. (1981) : 432-434.
2. Fairlamb, A. Biochemistry of Trypanosomiasis and Rational Approaches to Chemotherapy. Trends Biochem. Sci(Pers.Ed.), 7, (1982) : 249-255.
3. Arms, K., and Camp, P.S. A Journey Into Life. W.B. Saunders Company, Inc. (1988) : 355.
4. Parker, C.E. The Chemistry of Atoxyl. Prarm. Ztg., 52, (1906) : 344.  
: Chemical Abstract., 1, (1907) : 1605.
5. Erhilich, P., and Bertheim, A. Reduction Produts of Arsanilic Acid of its Derivatives. Ber., 43, (1910) : 917-927.  
: Chemical Abstract., 4, (1910) : 1752
6. Salmon, P. The Acetyl Derivative of Atoxyl in Sleeping Sickness. Compt. Rend., 146, (1908) : 1342-1343.  
: Chemical Abstract., 2, (1908) : 2955.
7. Friedberger, E. The Treatment of Experimental Nagana (Sleeping Sickness) with Mixture of Atoxyl and Thioglycolic Acid. Berl. Klin. Wochschr., 45, (1909) : 1714-1717.  
: Chemical Abstract., 3, (1909) : 201.

8. Evers, N., and Caldwell, D. The Chemistry of Drugs., Interscience Publishers, Inc. New York, 3 rd. ed., (1959) : 136-143.
9. Wilson, E., and Schild, H.O. Applied Pharmacology., 10 th. ed., (1968) : 615-623. Arylaminoheterocycles.III. Arsenicals of Anilinotriazines. J. Am. Chem. Soc., 66, (1944) : 1771-1775.
10. Friedheim, E.A.H. Trypanocidal and Spirochetocidal Arsenicals Derived from s-Triazine. J. Am. Chem. Soc., 66, (1944) : 1775-1778.
11. Rowntree, L.G., and Abel, J.J. Antimony-Thioglycolic Acid Compounds in the Treatment of Experimental Trypanosomiasis. J. Pharmacol., 2, (1911) : 396-398.  
: Chemical Abstract., 5, (1911) : 3078-3079.
12. Rowntree, L.G., and Abel, J.J. The Efficacy of Antimony Thioglycolic Acid Compounds in the Treatment of Experimental Trypanosomiasis. J. Pharmacol., 2, (1911) : 101-143  
: Chemical Abstract., 5, (1911) : 1618
13. Gilman, H., Zoellner, E.A., and Selby, W.M. An Improved Procedure for the Preparation of Organo lithium Compounds. Synthesis., 54, (1932) : 1957-1962.
14. Austin, P.R. Studies of Organic Lead Compounds.IV. The Use of Lithium Derivative in the Synthesis of Lead Aryls, The Preparation of Amino Compounds. J. Am. Chem. Soc., 54, (1932) : 3726-3729.

15. Gilman,H., and Wu, T.C. Some Organotin Compounds Containing Water-solubilizing Groups. J. Am. Chem. Soc., 77, (1955) : 3228-3230.
16. Gilman,H., and Summers,L. The Preparation of Organolead compounds containing Water-Solubilizing Groups. J. Am. Chem. Soc., 74, (1952) : 5924-5927
17. Velluz, L., Amiard,G., and Heymes,R. Utilisation of Intermediate N-benzyl Synthesis Peptide. Bull. Soc. Chim. Fr., (1954) : 1012.
18. Yagi,H., Thakker,D,R., Lehr,R,E., and Jerina, D,M. Removal of Benzyl-type Protecting Groups from Peptides by Catalytic Transfer Hydrogenation with Formic acid. J. Org. Chem., 44, (1979) : 3442-3444.
19. Felix,A.M., Heimer,E.P., Lambros,T.J., Tzougraki,C., and Meienhofer,J. Repid Removal of Protecting Groups from Peptides by Catalytic Transfer Hydrogenation with 1,4-Cyclohexadiene. J. Org. Chem., 43, (1978) : 4194-4196.
20. Jackson,A, E., and Johnstone,R,A,W. Rapid, Selective Removal of Benzyloxycarbonyl Groups from Peptides by Catalytic Transfer Hydrogenation. Synthesis., (1976) : 685-687.
21. Khan,S,A., and Sivanandaiah,K,M. Catalytic Transfer Hydrogenation in Solid-Phase Peptide Synthesis : Synthesis of Bradykinin. Synthesis., (1978) : 750-751.

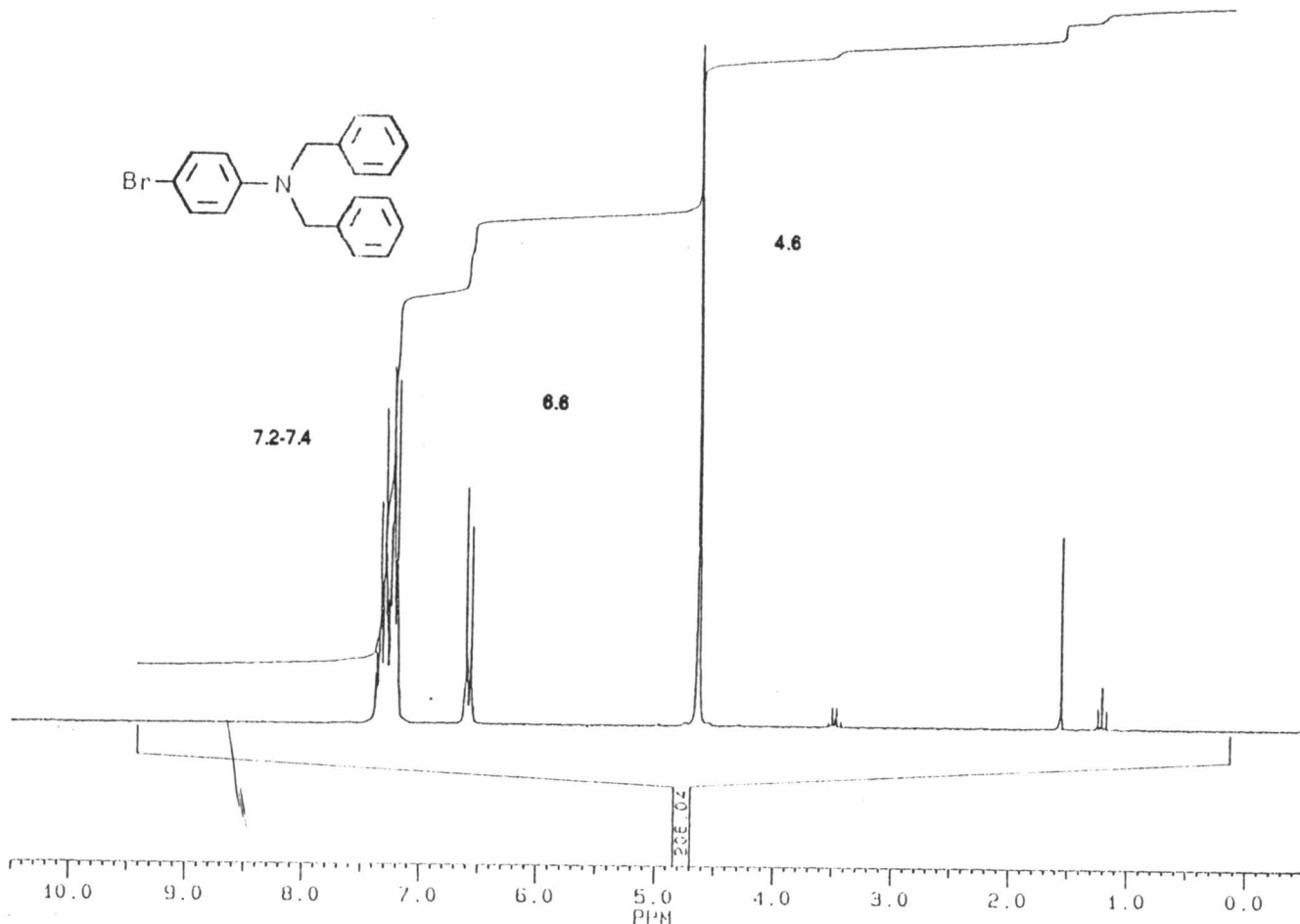
22. Anwer, M., Khan, S. A., and Sivanandaiah, K. M. Catalytic Transfer Hydrogenolysis of Protected Peptides Using Hydrazine. Synthesis, (1978) : 751-752.
23. Sivanandaiah, K. M., and Gurusiddappa, S. Catalytic Transfer Hydrogenation of Protected Peptides at Room Temperature. J. Chem. Research(S), (1979) : 108-109.
24. Brieger, G., and Nestrick, T.J. Catalytic Transfer Hydrogenation. Chemical Reviews, 74, (1974) : 567-580.
25. Gilman, H., and Rosenberg, S.D. The Preparation of Tri phenyltin-Lithium and Some of Its Reactions. J. Am. Chem. Soc., 74, (1952) : 531-532.
26. Gielen, M., Synthesis and Properties of Aldehydic and Ketonic Tetraorganotin compounds. J. Organometal. Chem., 214, (1981) : 191-195.
27. Vorlander, D. The doctrine of intramolecular opposition and the directing of substituents in benzene. Ber., 58B, (1925) : 1893-1914.  
: Chemical Abstracts, 20, (1926) : 584-586.
28. Neville, R.G. Synthesis of 4-(2,3-Epoxypropoxy)phenyl trimethylsilane. J. Org. Chem., 25, (1960) : 1063-1064.
29. Speier, J.L. The Preparation and Properties of (Hydroxyorgano)-silanes and Related Compounds. J. Am. Chem. Soc., 74, (1952) : 1003-1010.

ପାଇସନାମ

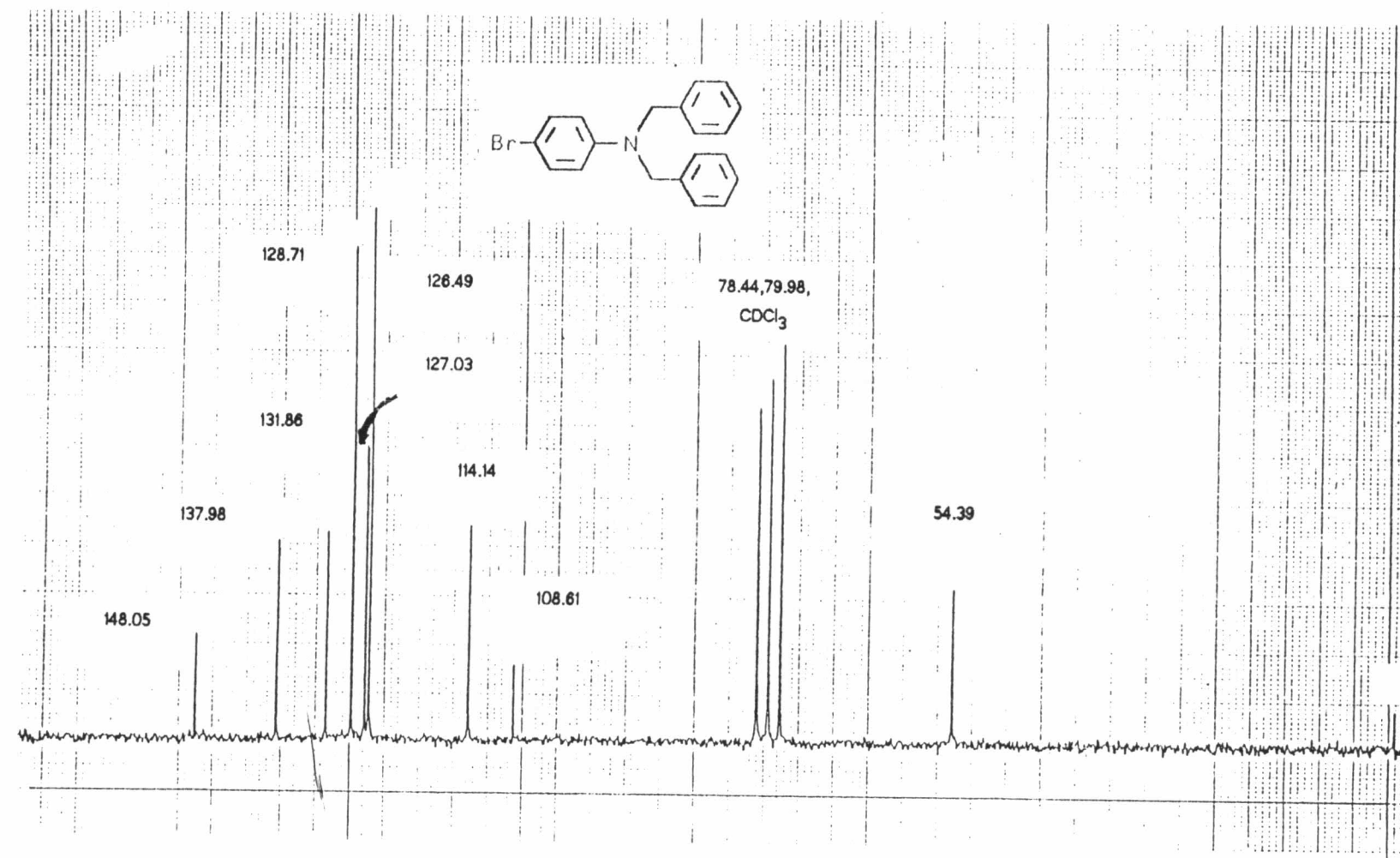


รูปที่ 5 อินฟราเรดสเปกตรัมของสารประกอบ 4-bromo N,N-dibenzylaniline

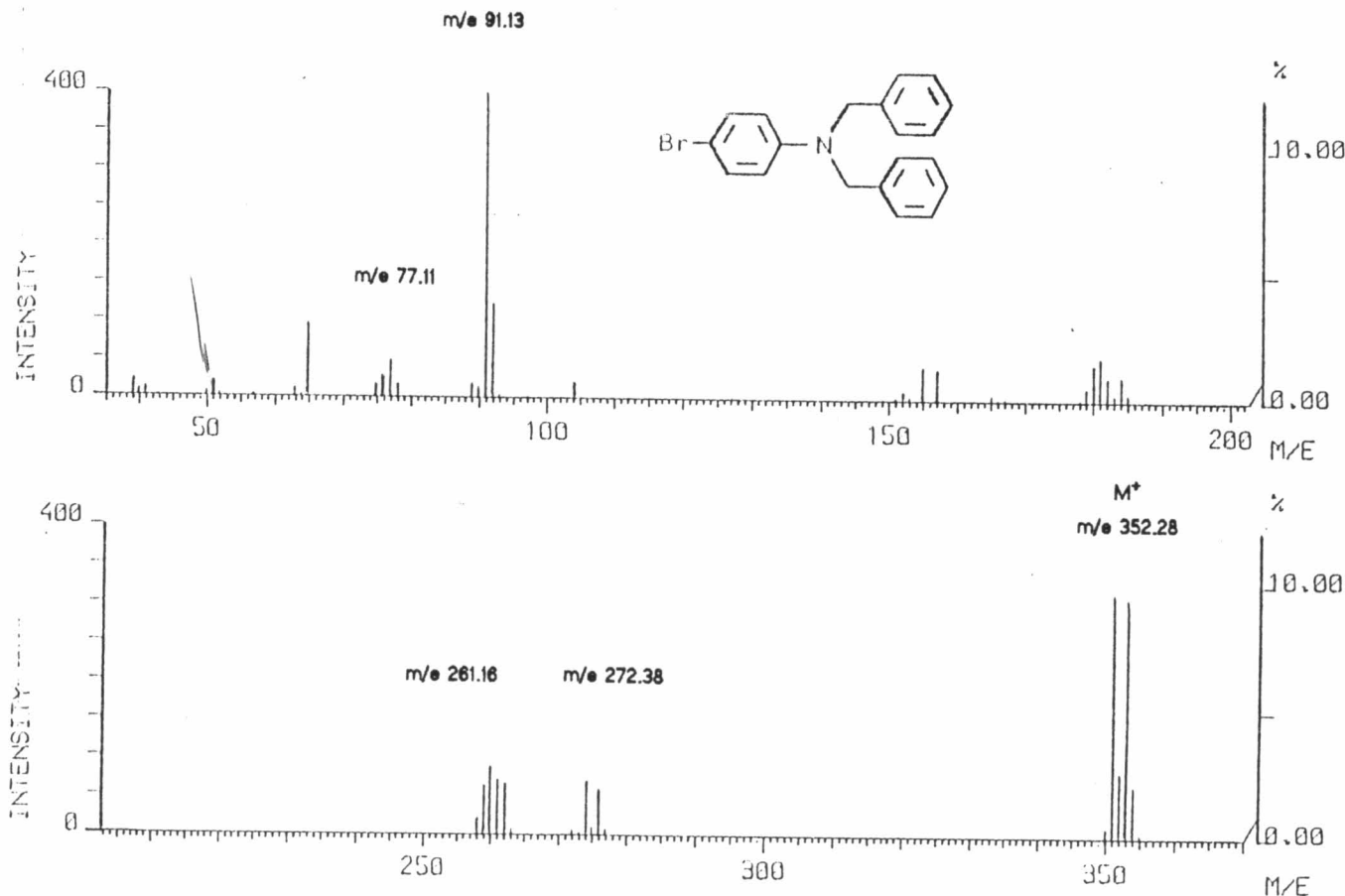
จากมูนิคิริยาที่ 2.3.1 (KBr, cm<sup>-1</sup>)



รูปที่ 6 รีปรตองนิวเคลียร์แมกโนติกเรโซแนนซ์สเปกตรัมของสารประกอบ 4-bromo  
 $\text{N,N-dibenzylaniline}$  จากปฏิกิริยาที่ 2.3.1 ( $\text{CDCl}_3$ , 8 ppm)

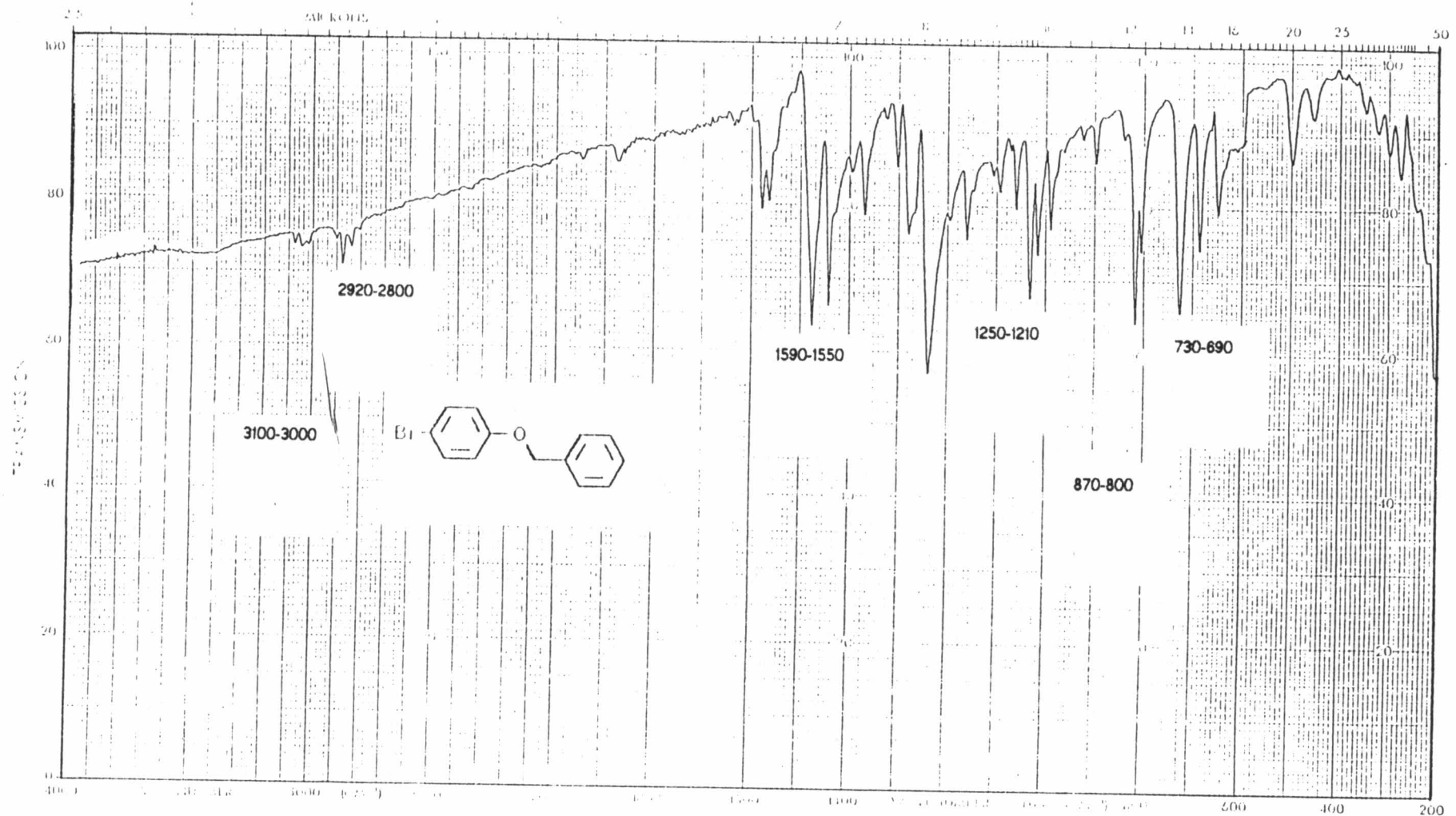


รูปที่ 7 ค่ารีบอน-13 บิวเกลียร์แมกน็อกติกเรโซனนัซส์เบกตั้มของสารประกอบ 4-bromo  
 $N,N$ -dibenzylaniline จากมีกิริยาที่ 2.3.1 ( $\text{CDCl}_3$ ,  $\delta$  ppm)

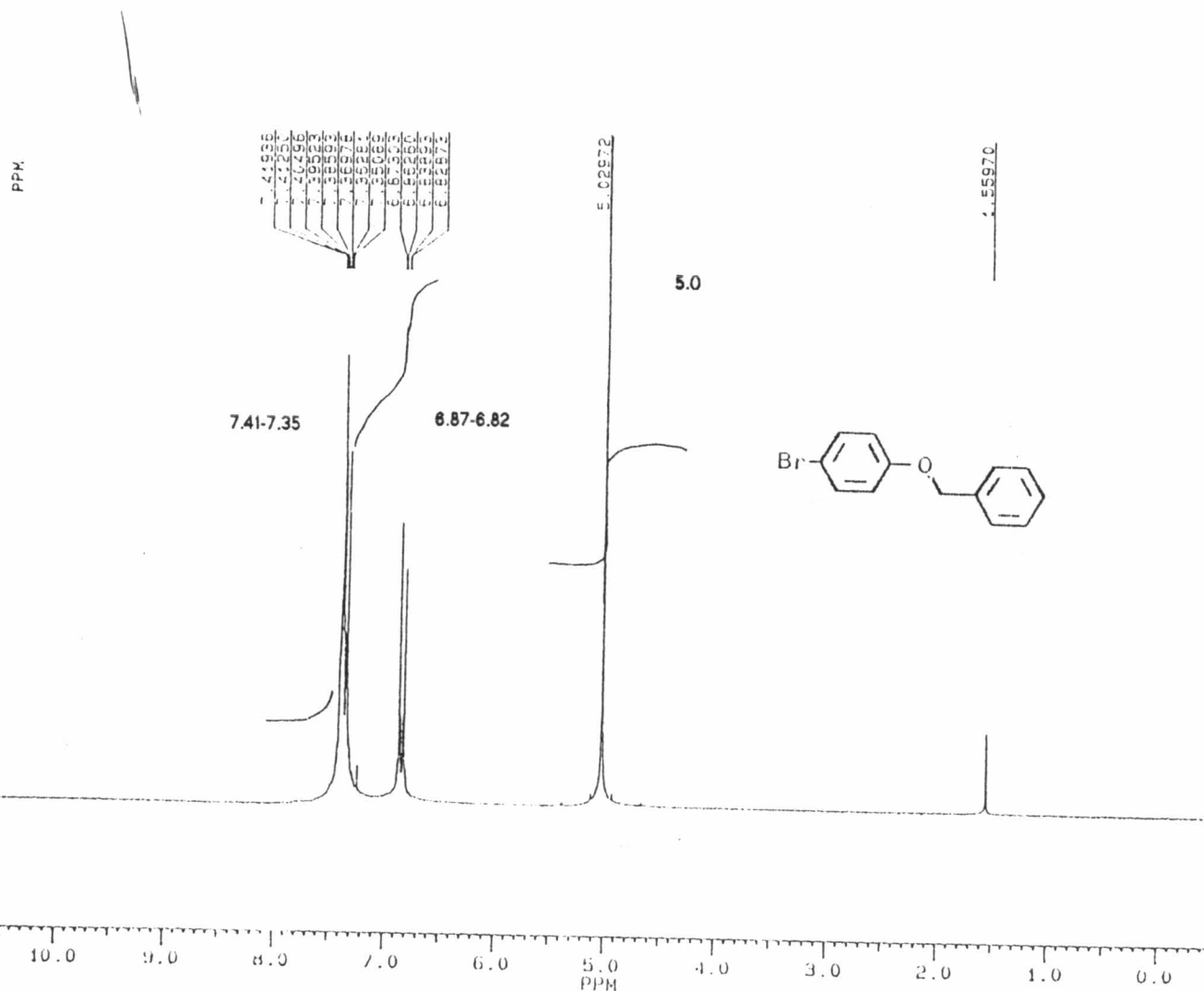


รูปที่ 8 แมสสเปกต์รัมของสารประกอบ 4-bromo N,N-dibenzylaniline

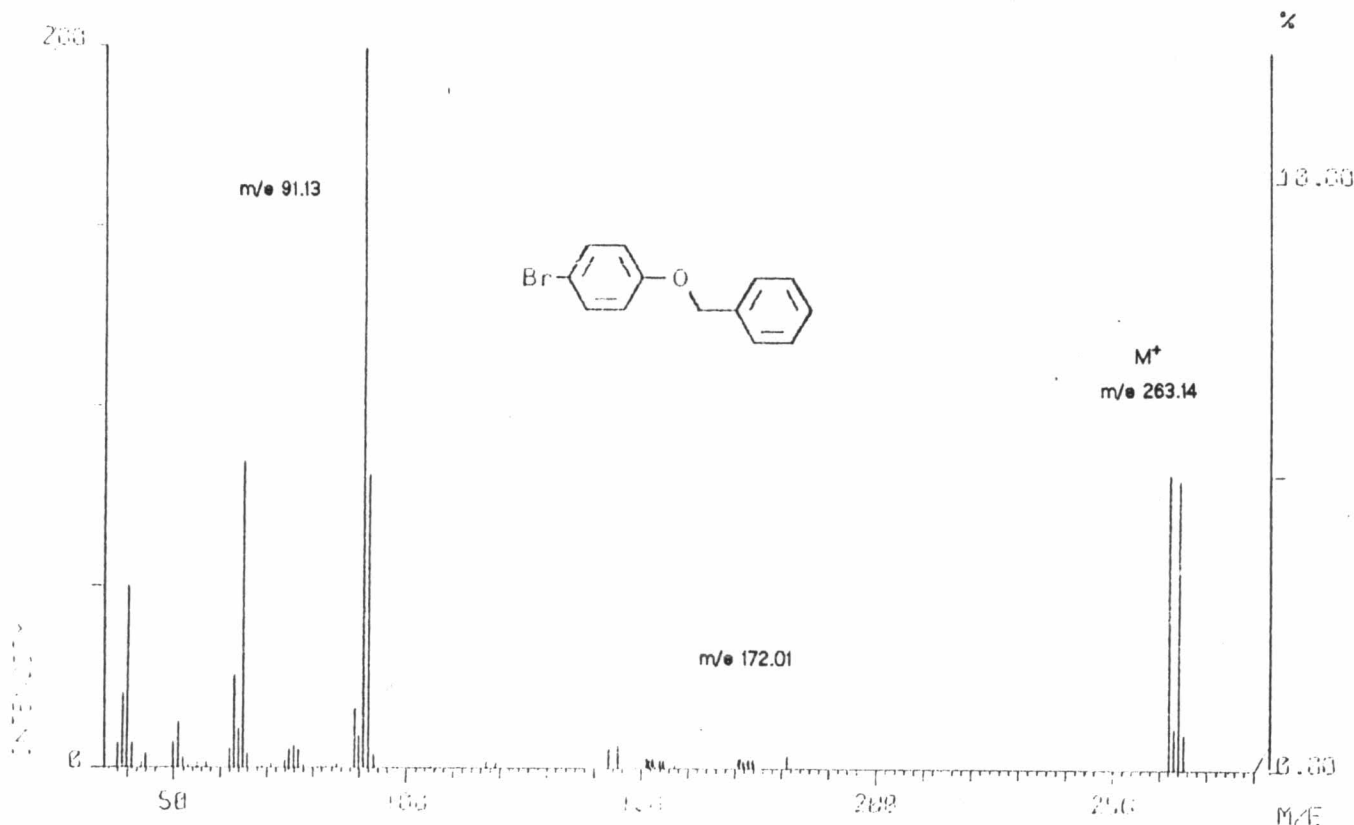
จากปฏิกิริยาที่ 2.3.1 (70 eV, m/e)



รูปที่ 9 อินฟราเรดสเปกตรัมของสารประกอบ para-bromophenylbenzyl ether  
จากเม็ดริบบิ้ง KBr,  $\text{cm}^{-1}$

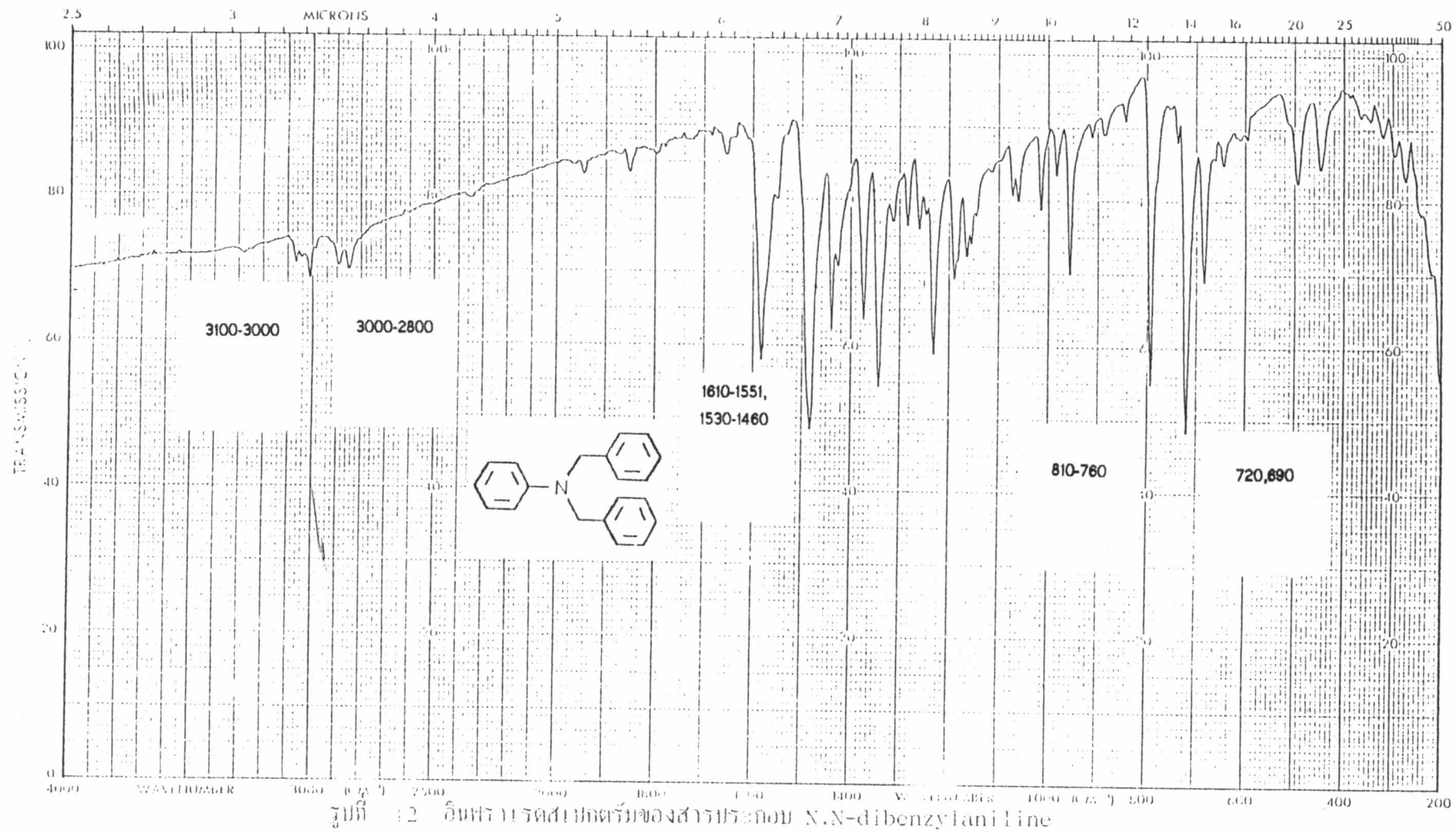


รูปที่ 10 รูปต้นนิวเคลียร์แมกเนติก resonance spectrum ของสารประกอบ para-bromophenylbenzyl ether จากปฏิกิริยาที่ 2.3.2 ( $\text{CDCl}_3$ ,  $\delta$  ppm)

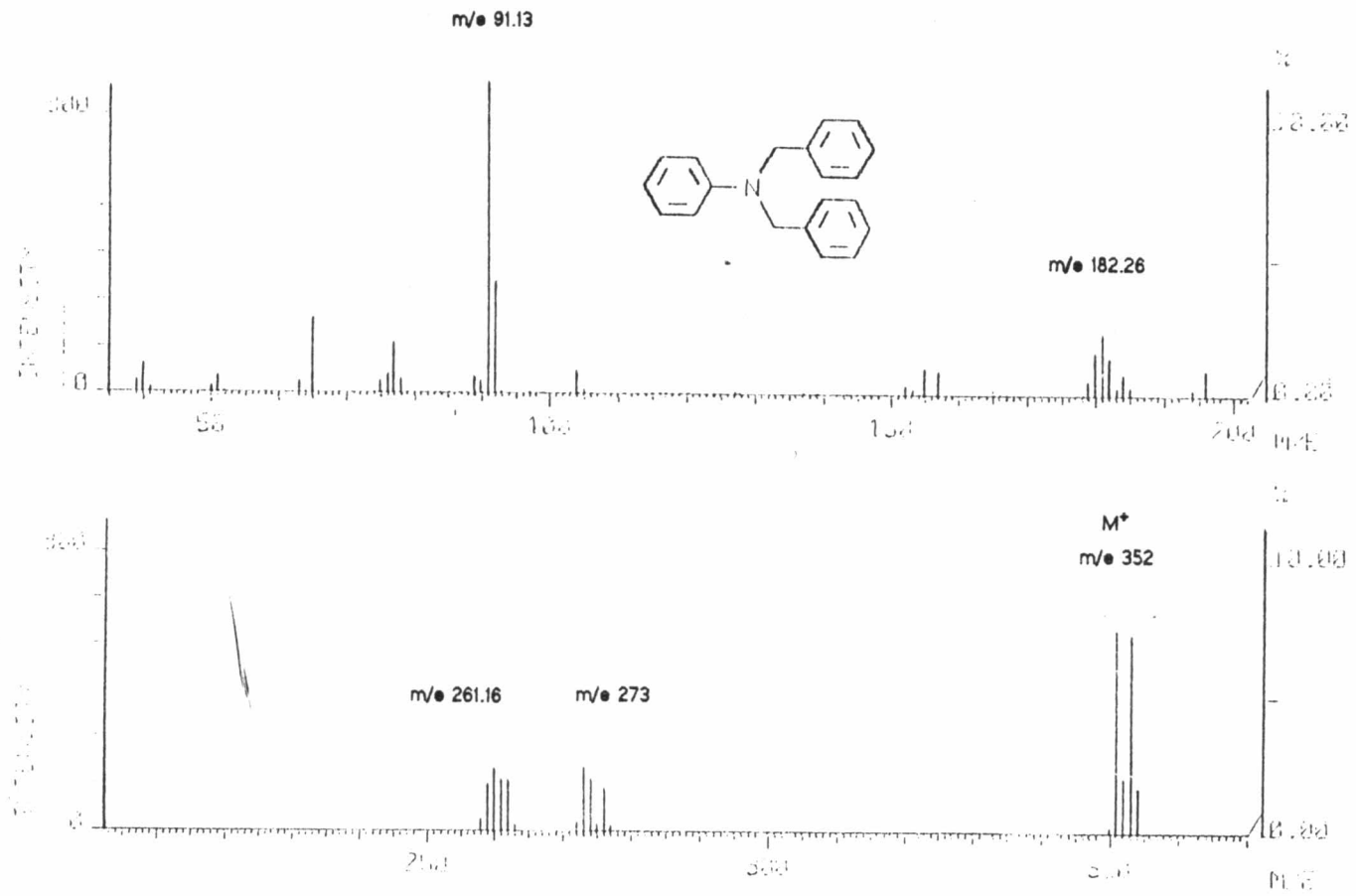


รูปที่ 1: แผนผังเชิงชาร์จของ para-bromophenylbenzyl ether

ในอัตราเริบ 2.3.2 (70 eV,  $m/e$ )

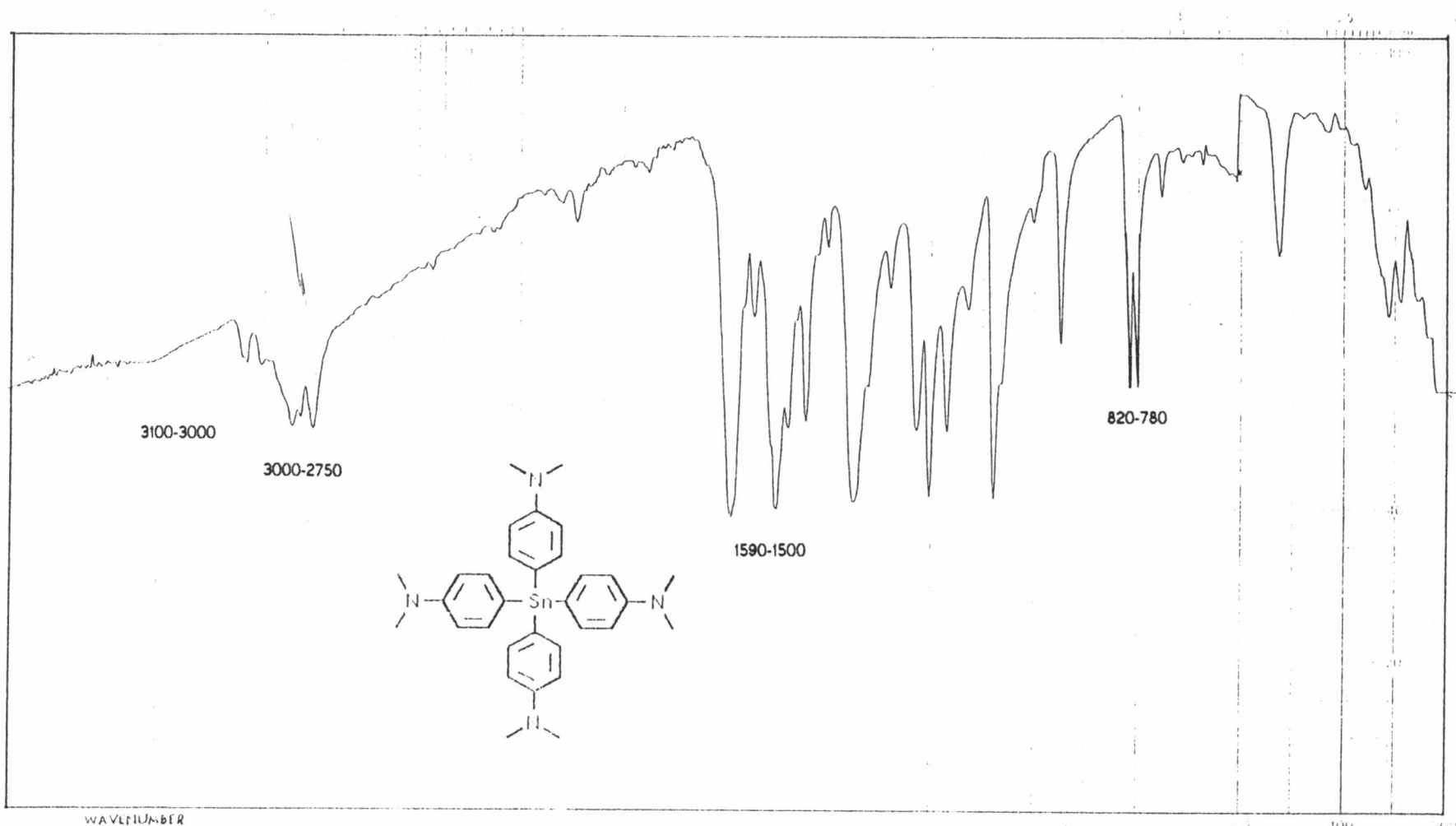


คลาสฟ์ที่ 2, 3, 3 (KBr,  $\text{cm}^{-1}$ )

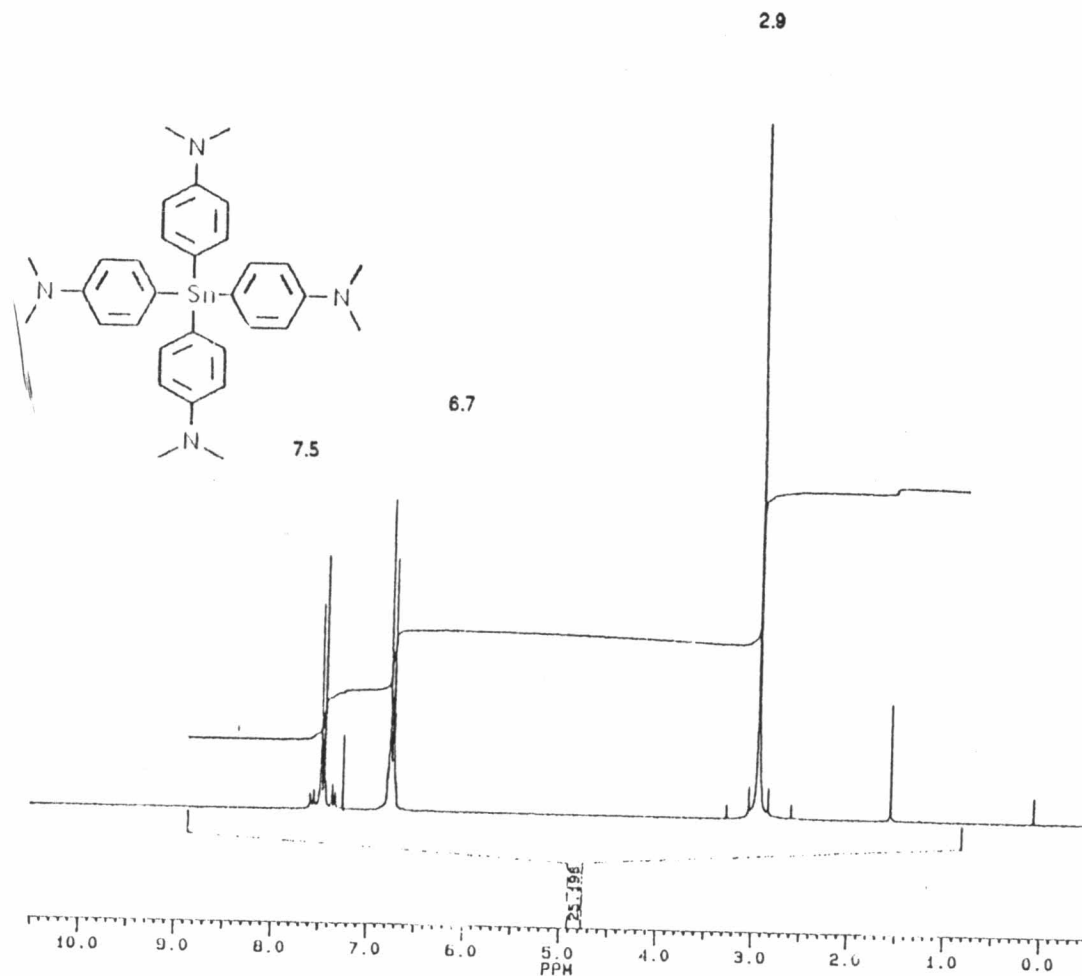


รูปที่ 13 แผนสเปกตรัมของสารบินามอน N,N-dibenzylaniline

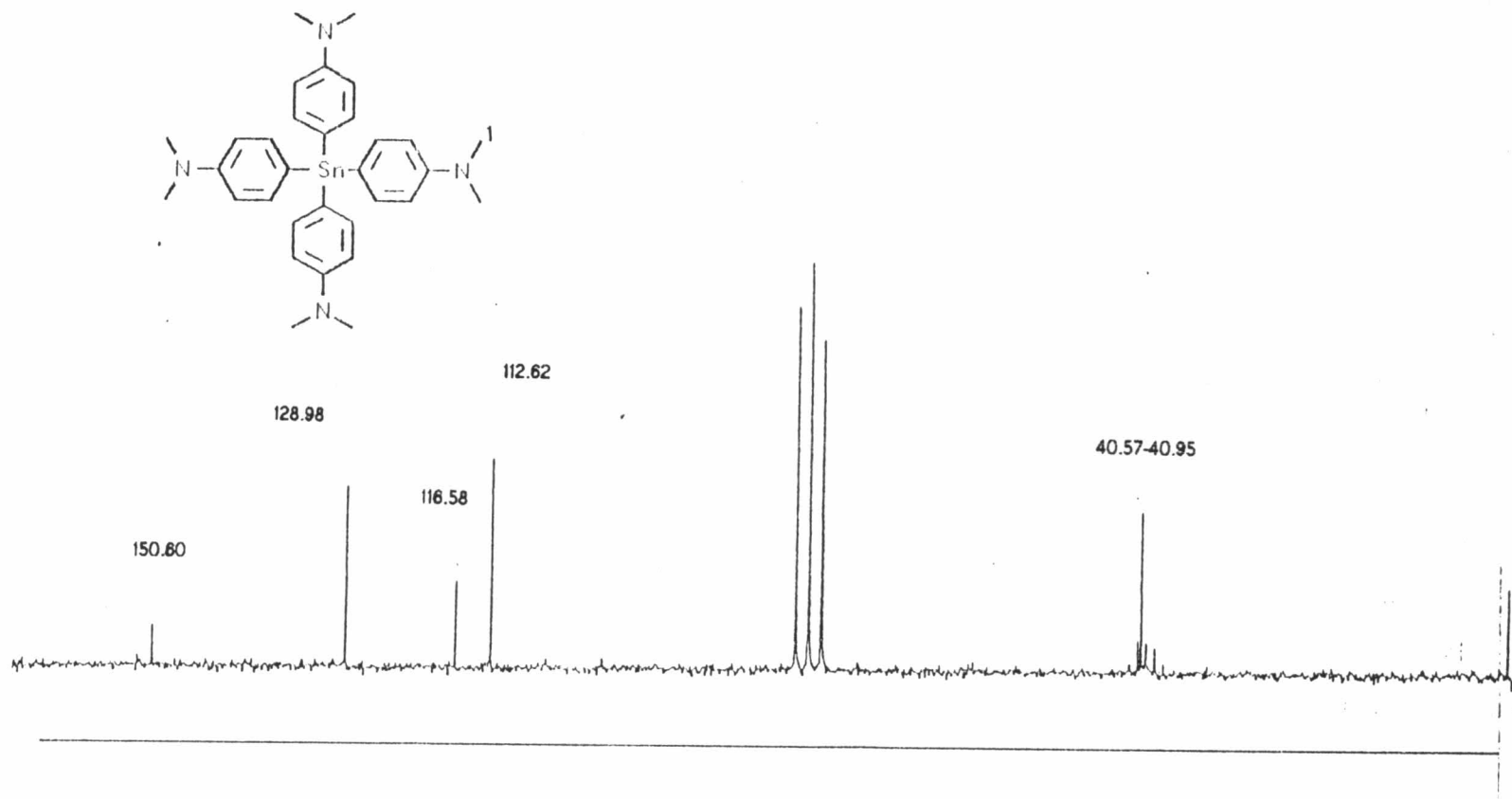
ท่านผู้อธิบายที่ 2.3.3. (70 eV, m/e)



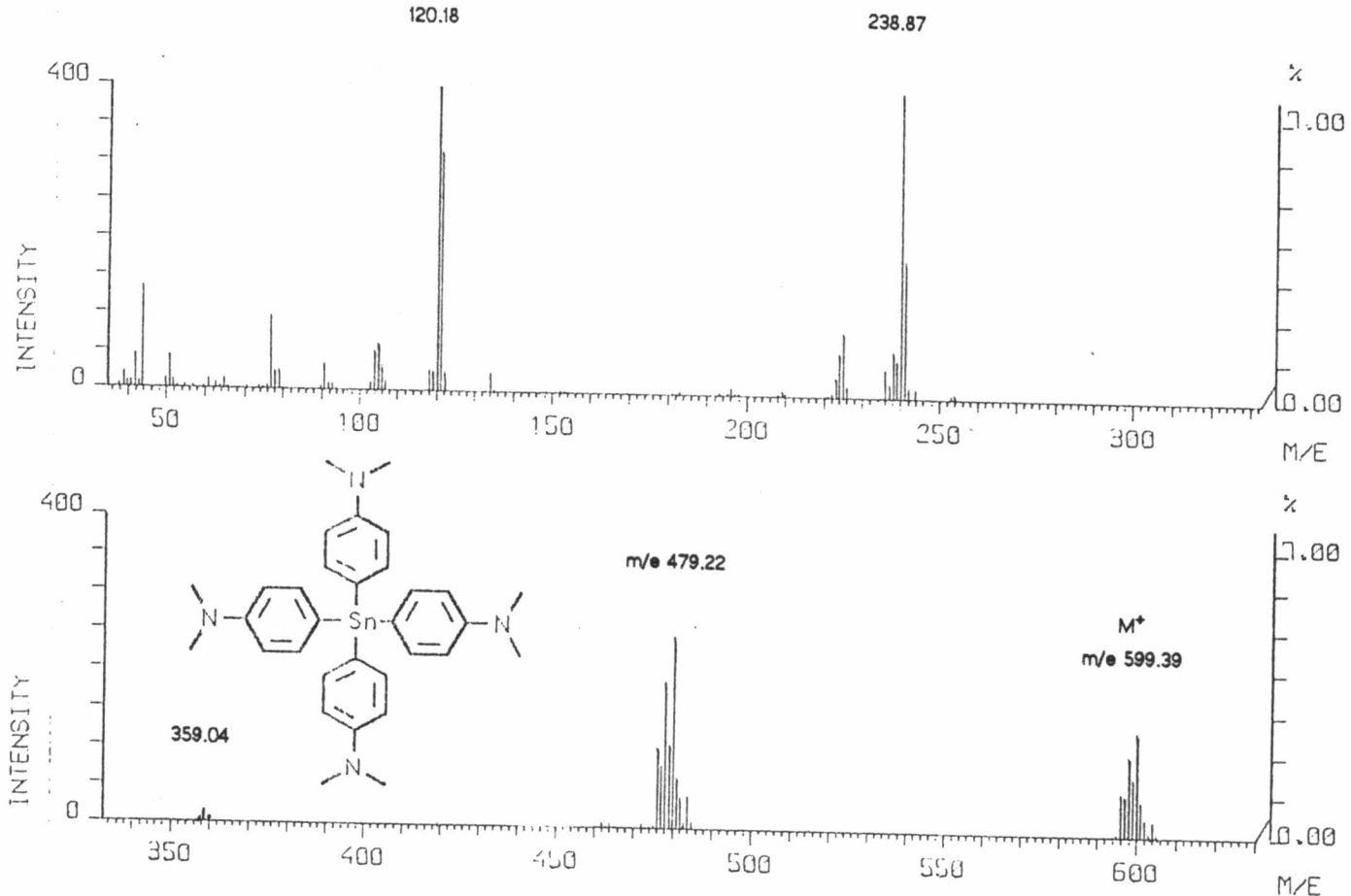
រូបទី 14 មិនាន់ (70% នឹងការសារពិនិត្យ) tetrakis-(4-dimethylaminophenyl)-stannane តាមអង្គភាព 2,3,4 (KBr,  $\text{cm}^{-1}$ )



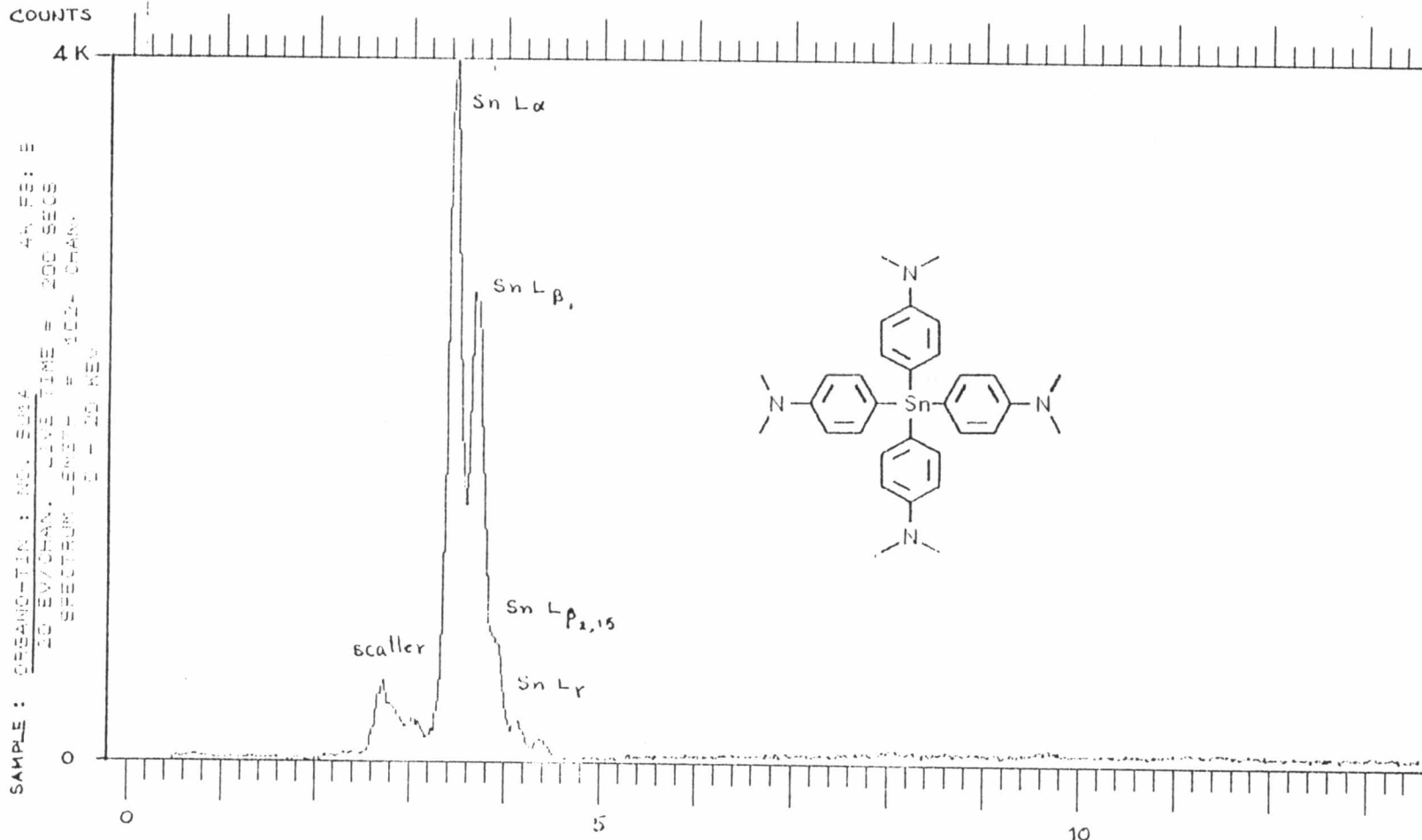
รูปที่ 15 รูปแสดงผลวิเคราะห์เมทริกต์กาวริขันหน้าสี ประกอบด้วยองค์ประกอบที่ tetrakis-(4-dimethylaminophenyl)stannane จานผู้วิเคราะห์ที่ 2,3,4 (CDCl<sub>3</sub>, δ ppm)



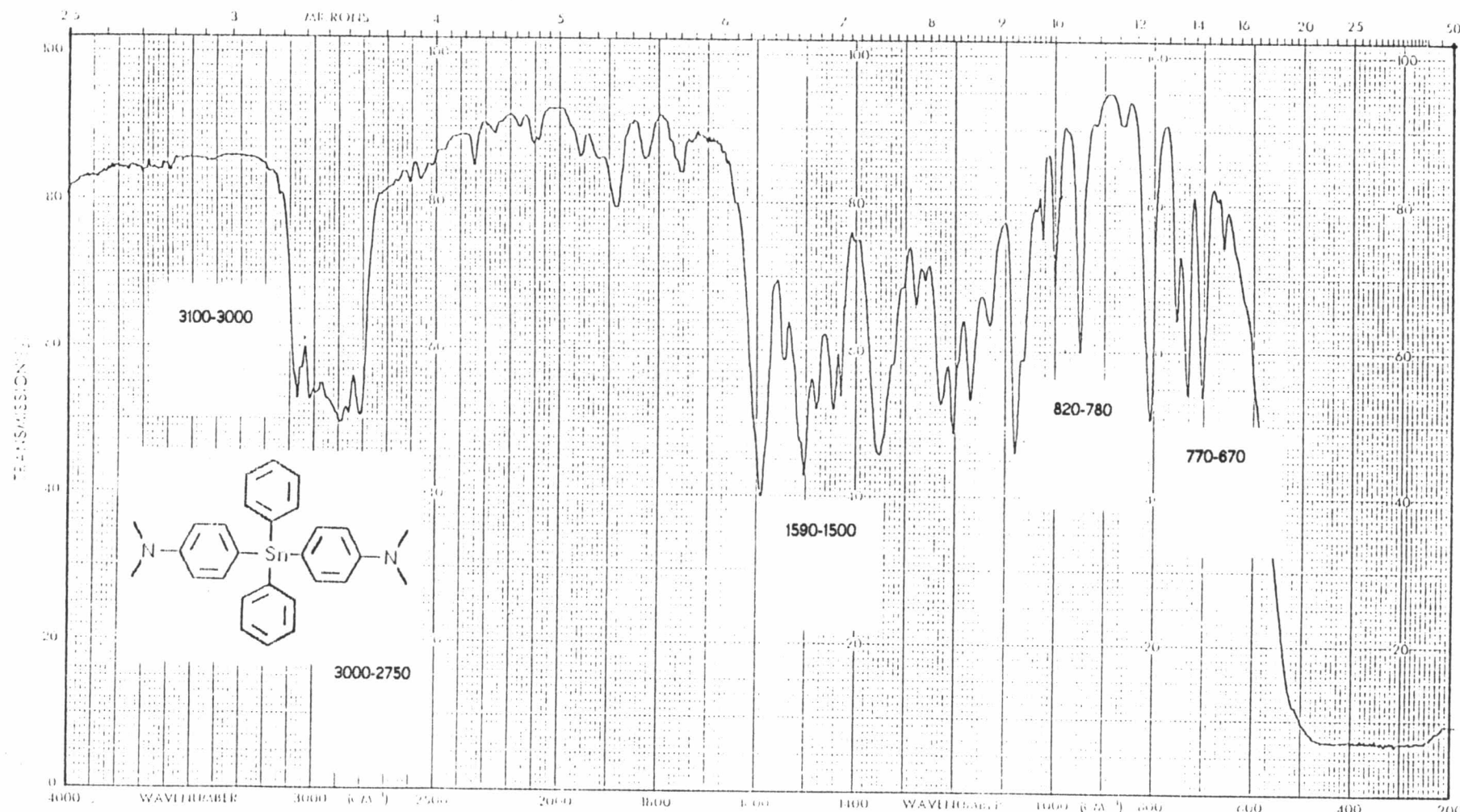
รูปที่ 16 ผลรีบอน- $^1\text{H}$  นิวเคลียร์แมกนติก resonance spectrum ของสารประกอบ tetrakis-(4-dimethylaminophenyl)stannane จากเมธิลิยาที่  $\text{CDCl}_3$ , 8 ppm



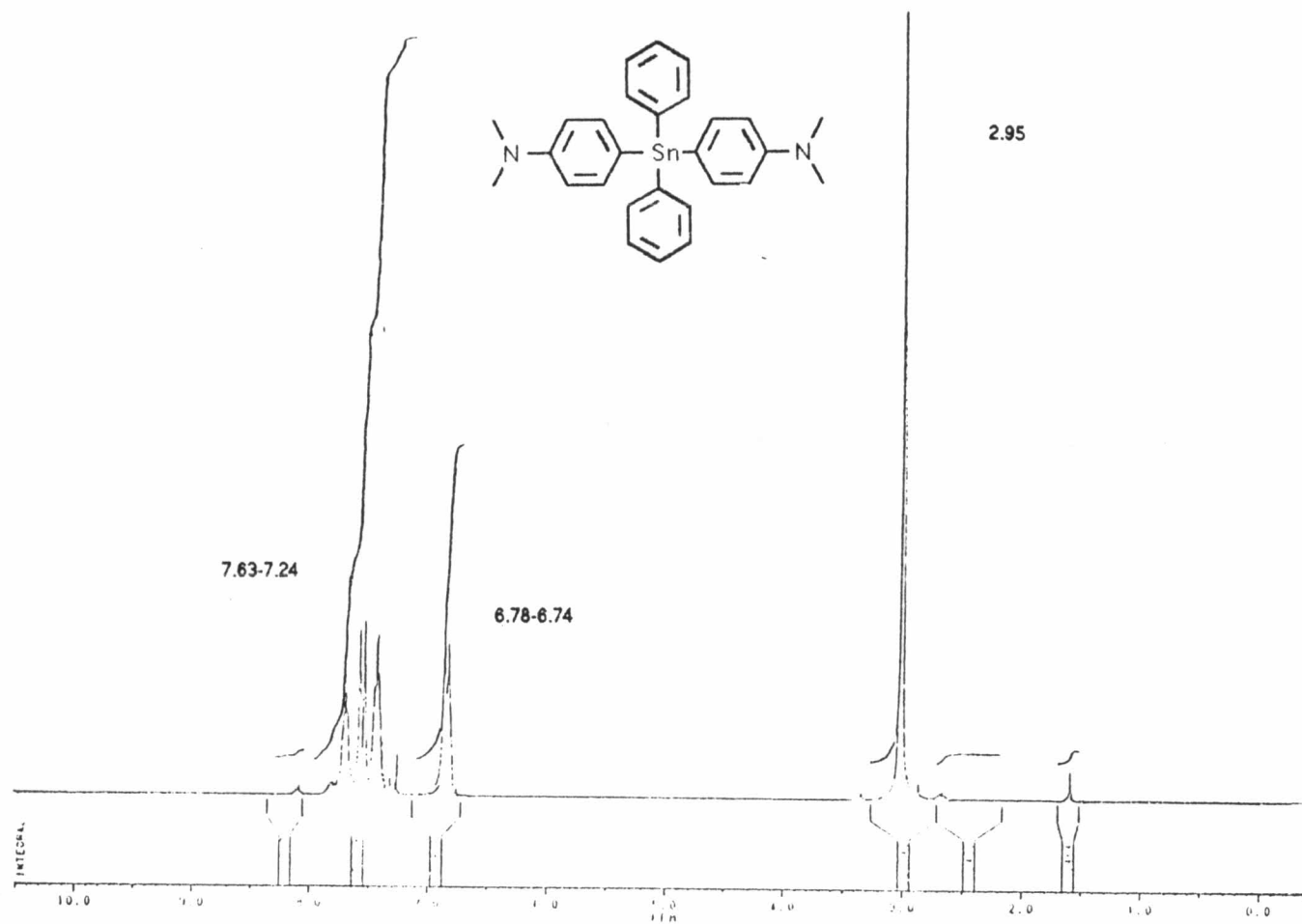
รูปที่ 17 แมสสเปกตรัมของสารบันนาน tetrakis-(4-dimethylaminophenyl) stannane จากปฏิกิริยาน้ำ 2,3,4 (70 eV,  $m/e$ )



รูปที่ 18 รูปชี้รั้งสีสกุลตัวอักษรที่บิดเบี้ยวของสารบรอนกัม tetrakis-(4-dimethylaminophenyl)stannane จากปฏิกริยาที่ 2, 3, 4

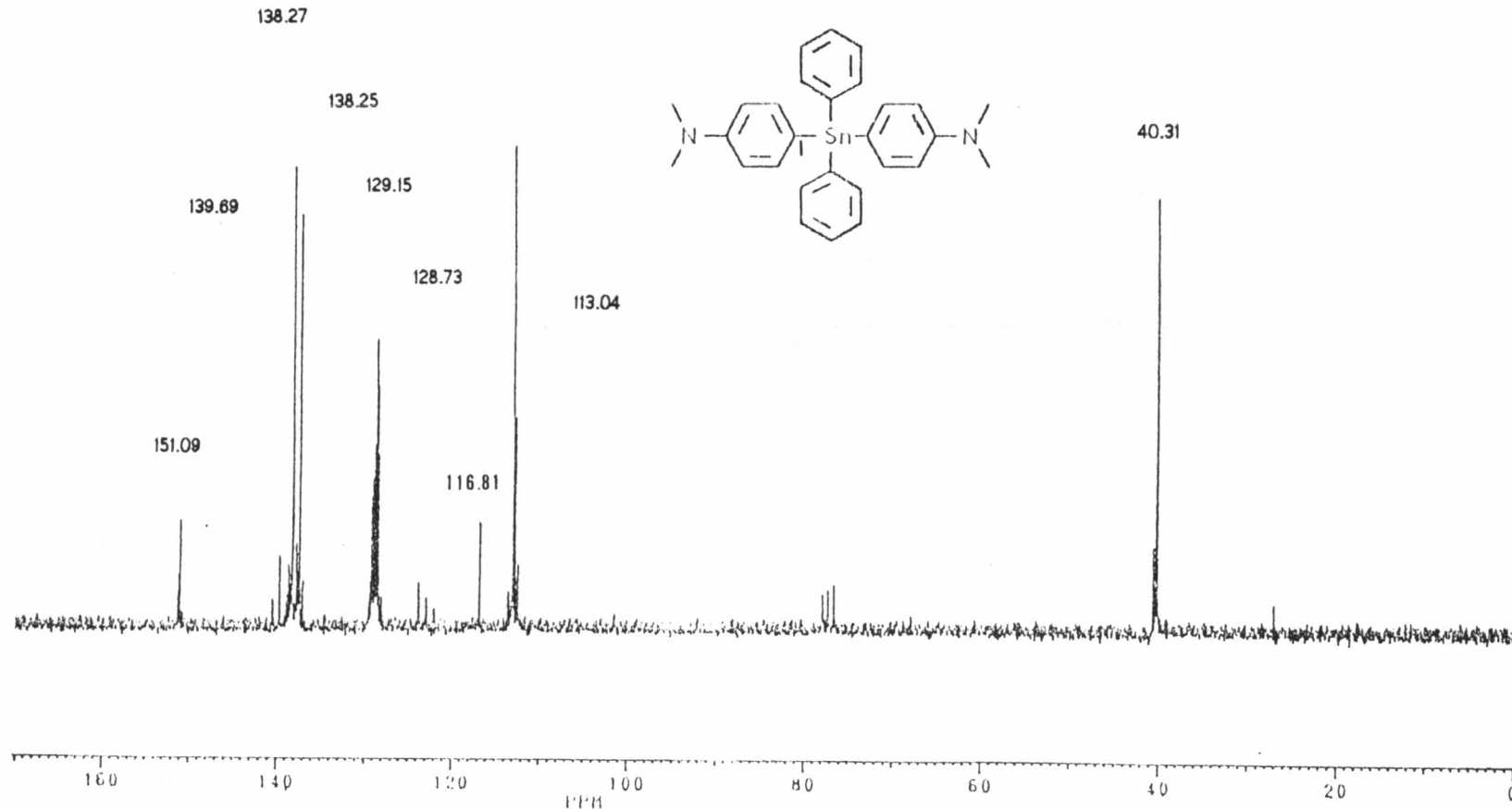


รูปที่ 19 光谱ของสารประกอบสสารปรัชญา diphenyl-di-p-dimethylaminophenyltin บนแก้วกรีดที่ 2,3,5,1 (NaCl, cm<sup>-1</sup>)

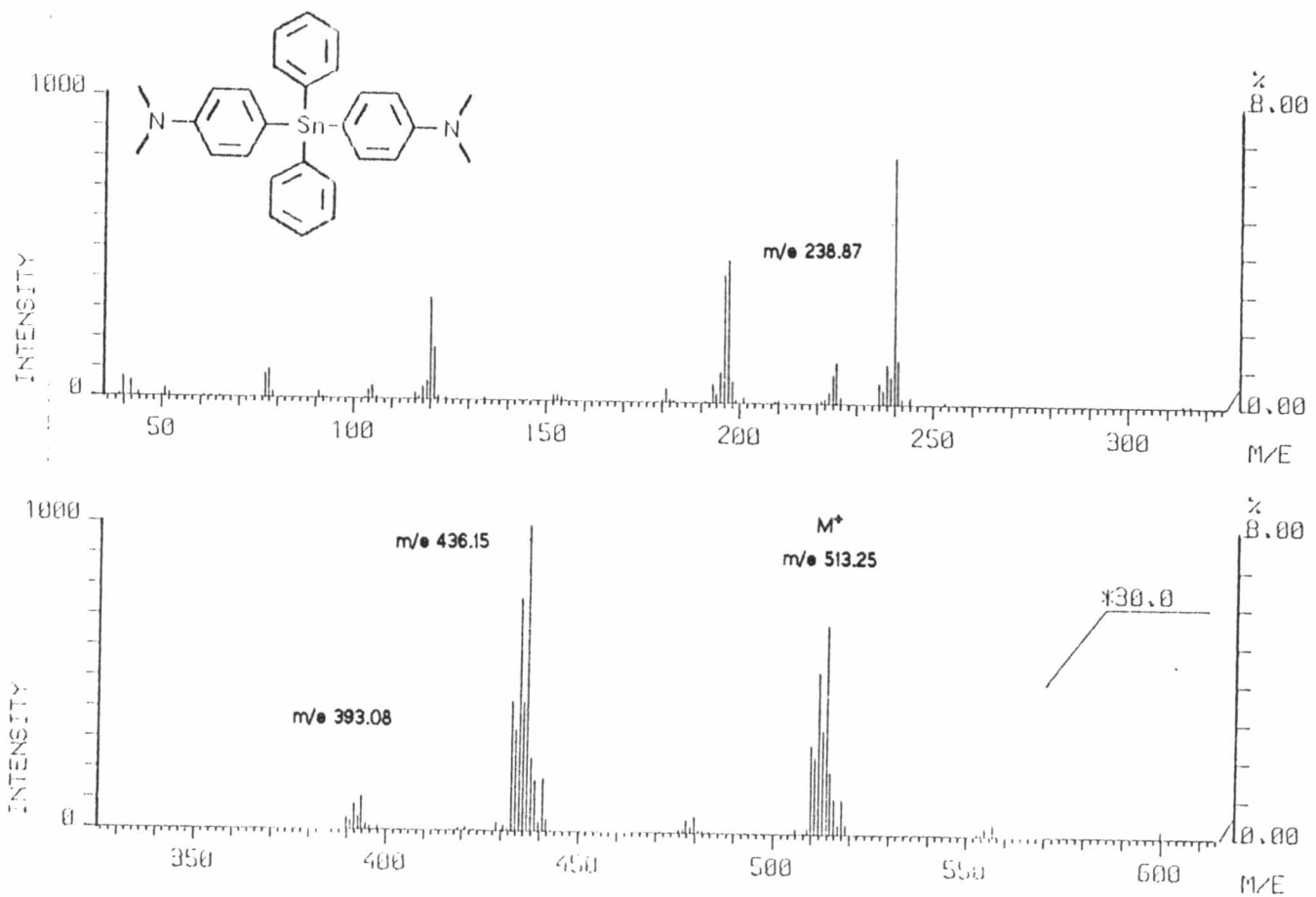


រូបទី 20 ក្រុមតាមអនុវត្តការណ៍និងរឹងរាល់អនុសាក្នុងសាខាប្រភេទ diphenyl

(*tri-*p*-dimethylaminophenyltin (III)*) នាមប្រភូទទី 2,3,5,1 ( $\text{CDCl}_3$ , 8 ppm)

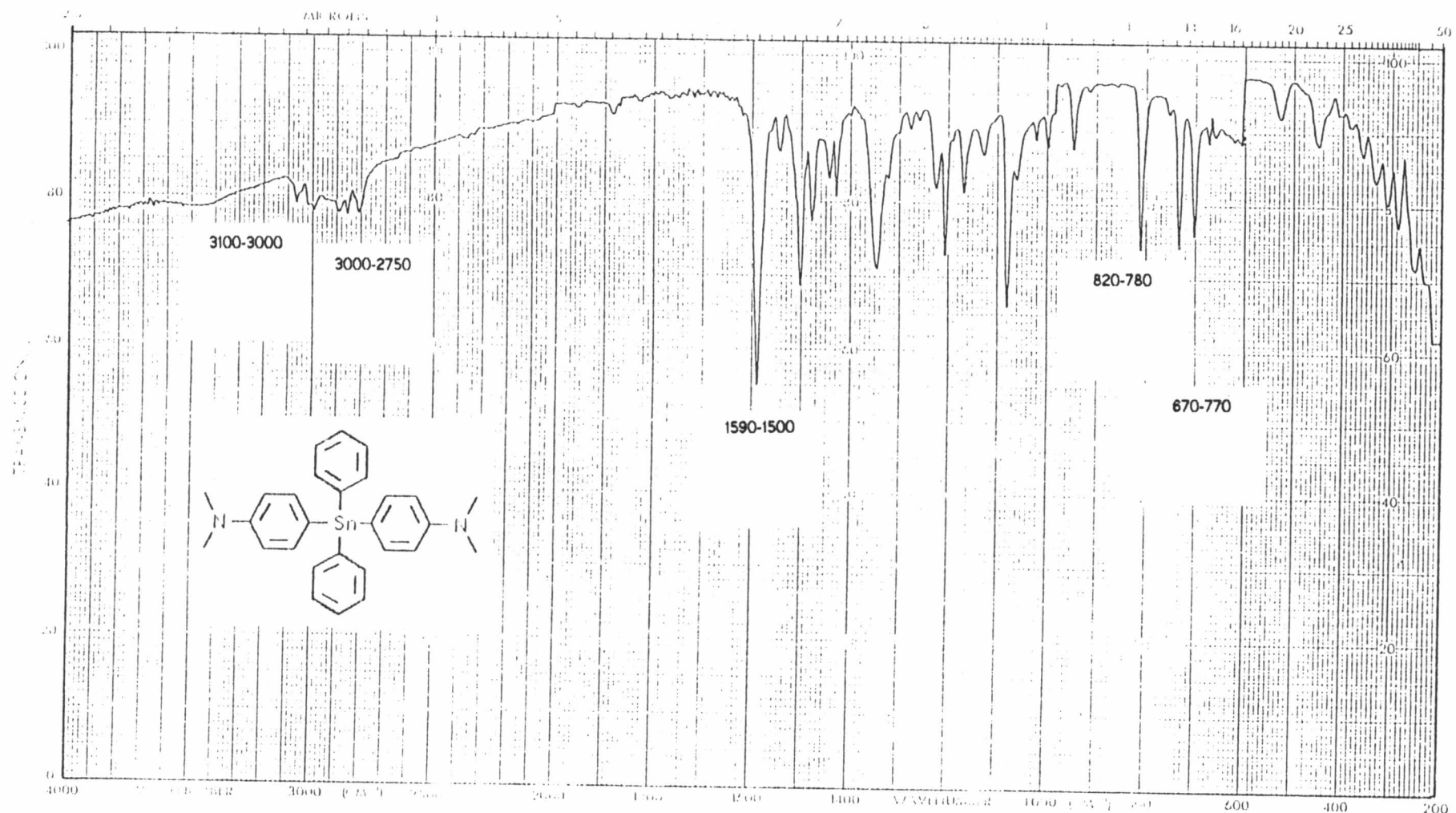


รูปที่ 21 นิวเคลียร์  $^{13}\text{C}$  ของ คลีอฟิลล์ บินตันเน็ชเช่บานด์ท์ ของสารปริมาณตัว di phenyl  
di-*p*-(dimethylaminophenyl)tin จานวนผิวเริมที่ 2,3,5,1 ( $\text{CDCl}_3$ , 8 ppm)

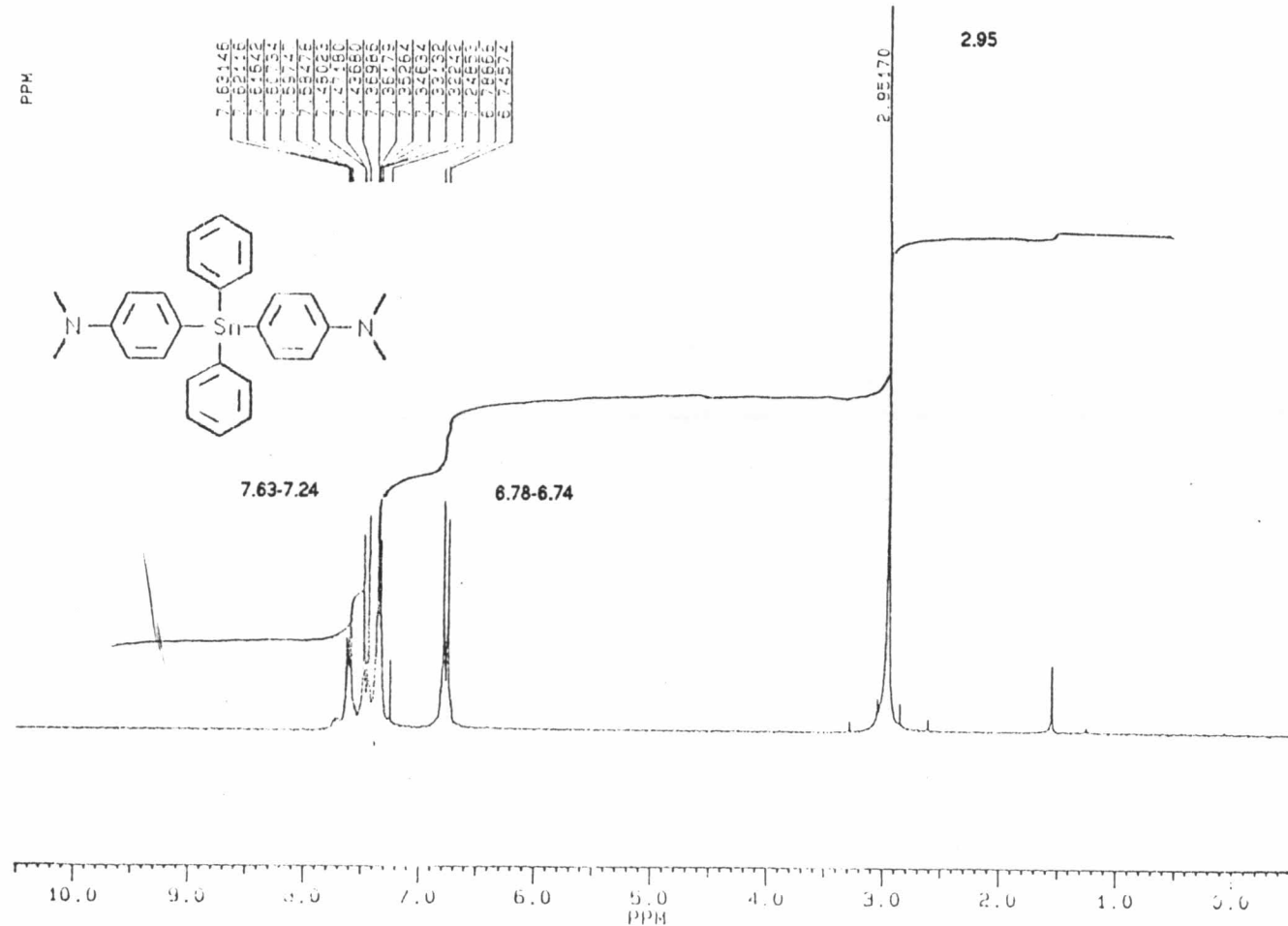


22 triphenyltin di-p-dimethylaminophenyltin

mass spectrum 2,3,5,1 (70 eV,  $m/e$ )

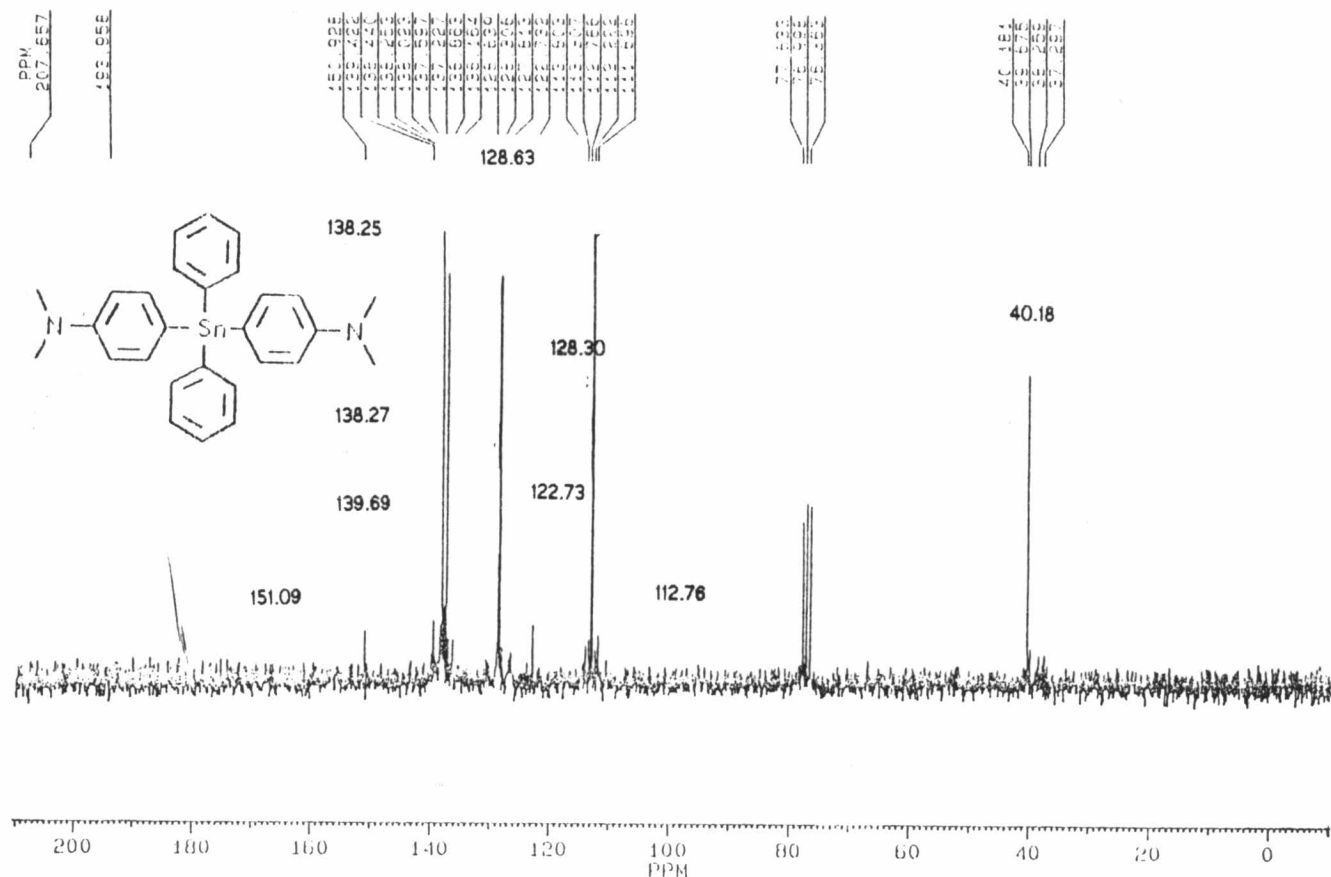


รูปที่ 23 光谱การส่องสว่างของสารบารอกอน diphenyl-di-*i*-dimethylamino phenyltin บนผิวกรีด KBr,  $\text{cm}^{-1}$



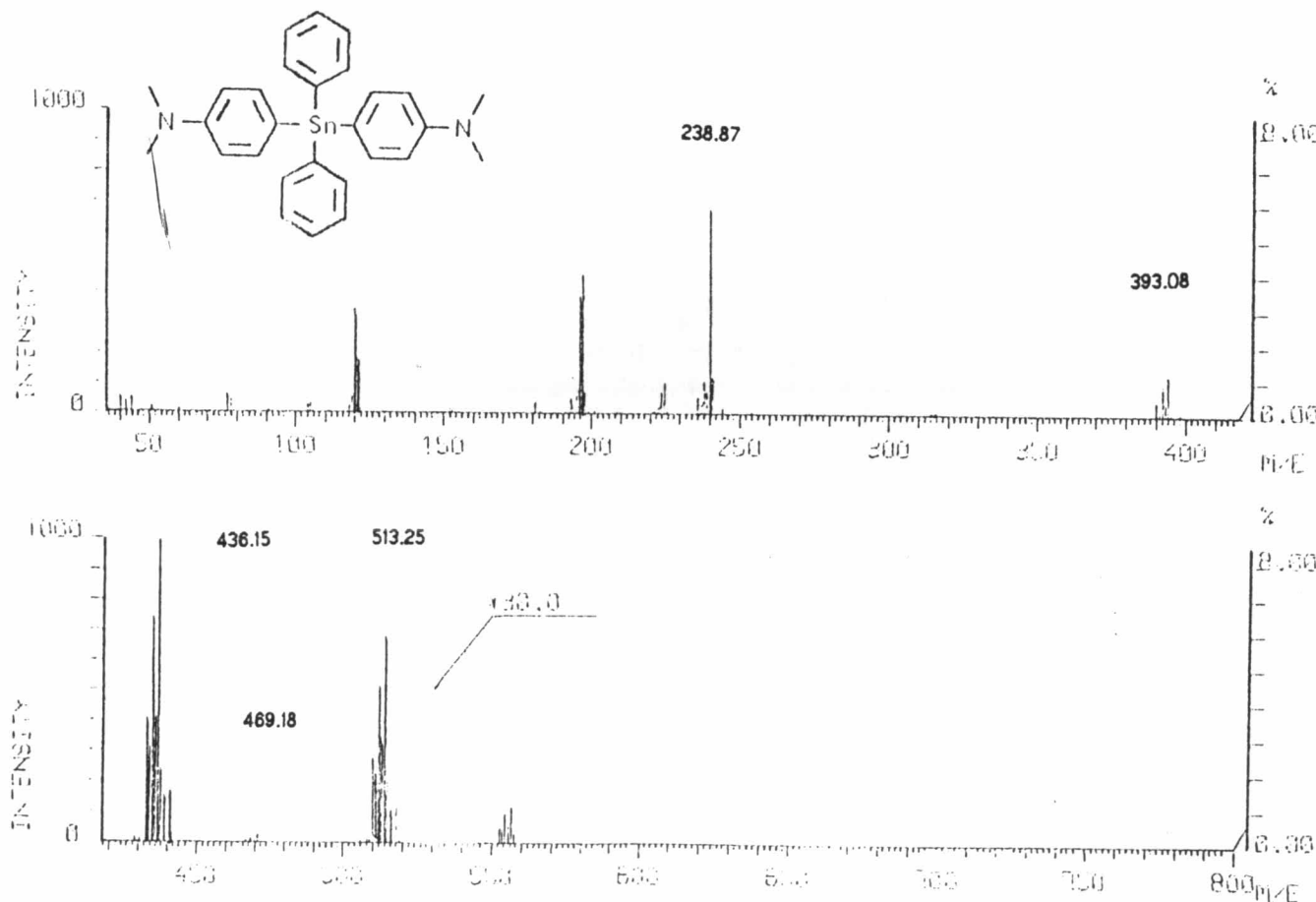
รูปที่ 24 รีปรัดเดนิวิจ กลีชีร์เบก นติกราราชมนนช์ สักกต์รัมจงสารประภากับ diphenyl

di-*p*-dimethylaminophenyltin จากปฏิกิริยาที่ 2,3,5,2 ( $\text{CDCl}_3$ ,  $\delta$  ppm)



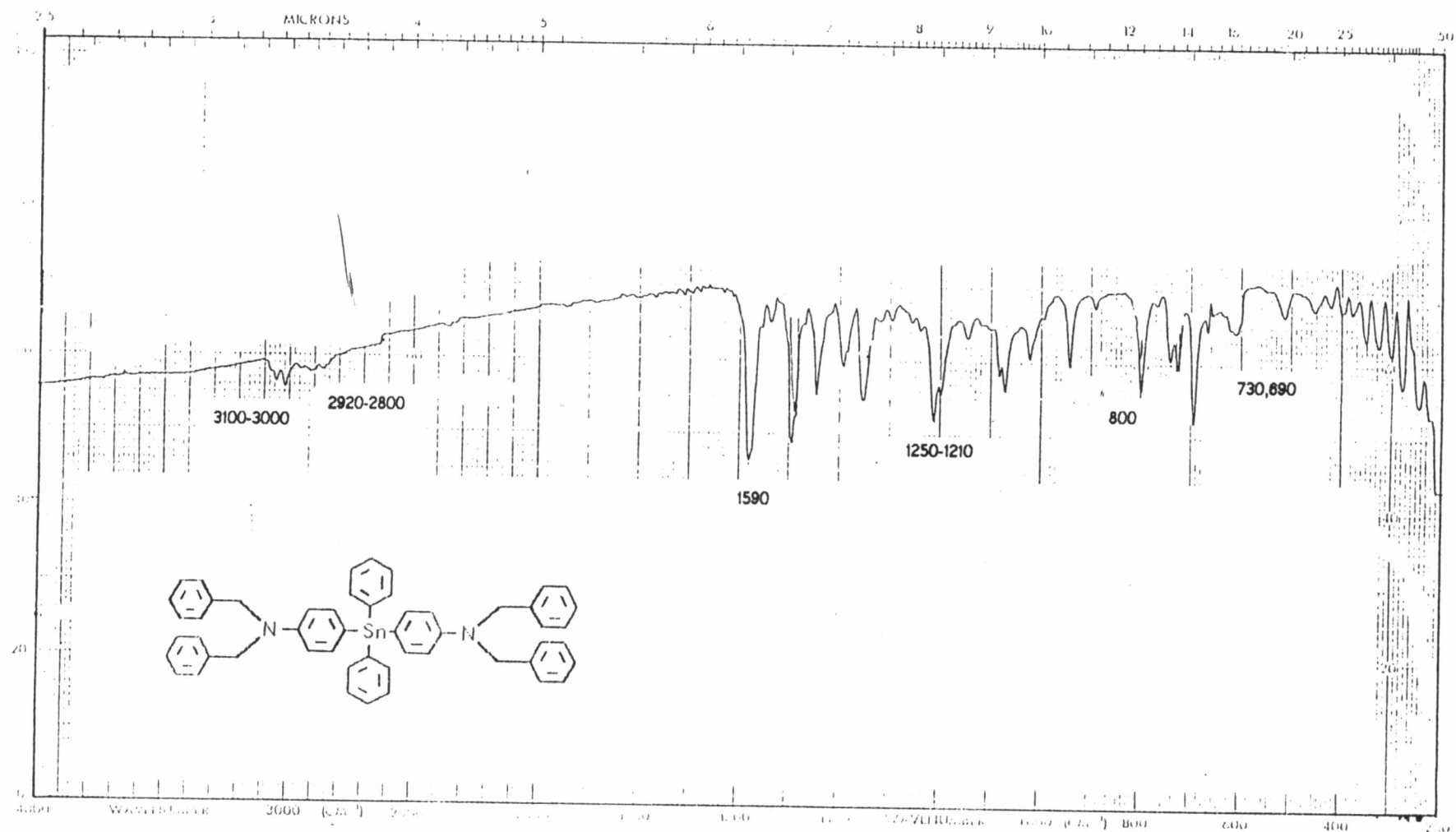
รูปที่ 25 ตารางที่ 13 นิวเคลียร์บินาฟติกา รัศมีน้ำสีฟ้าของสารประกอบ diphenyl di-p-dimethylaminophenyltin (IV) ที่  $\delta$  (ppm)

diphenyl di-p-dimethylaminophenyltin (IV) ที่  $\delta$  (ppm)

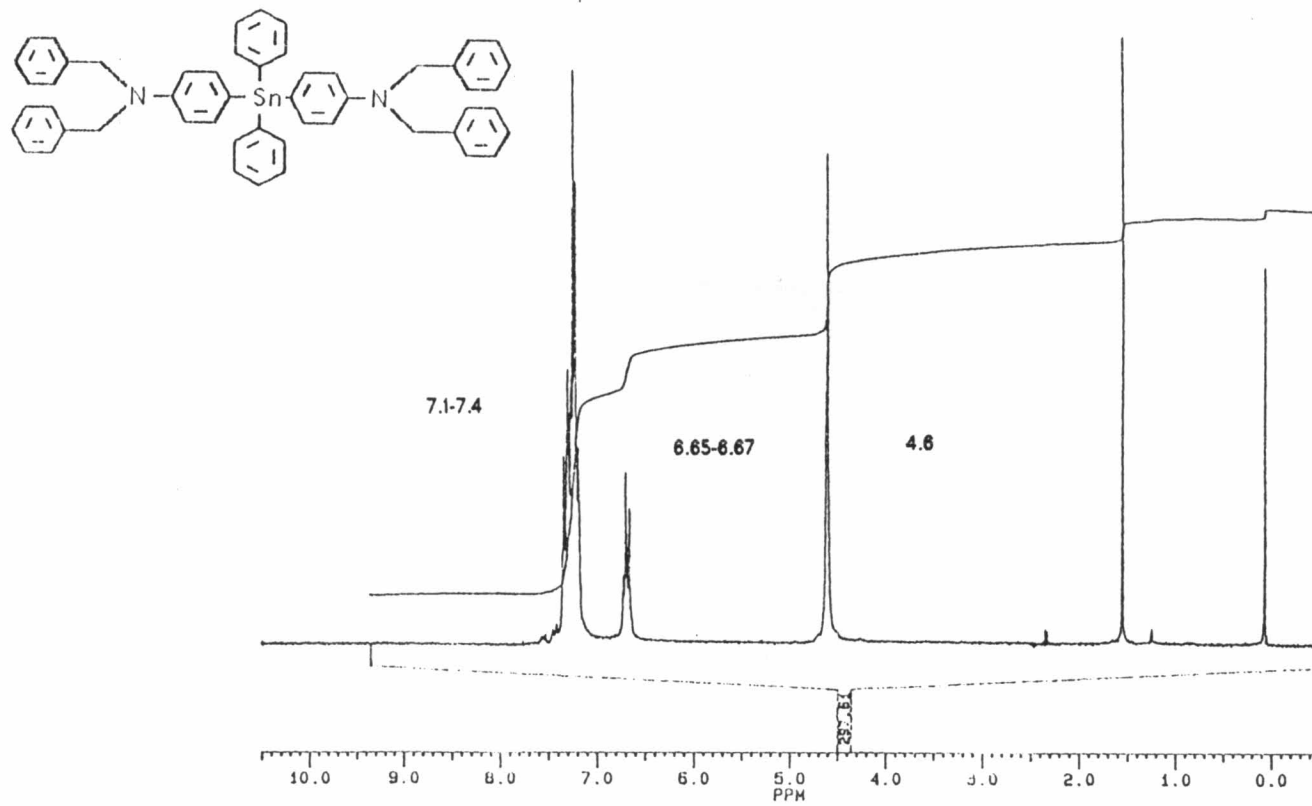


รูปที่ 26 ผลสเปกตรัมของสารประกอบ diphenyl di-p-dimethylaminophenyltin

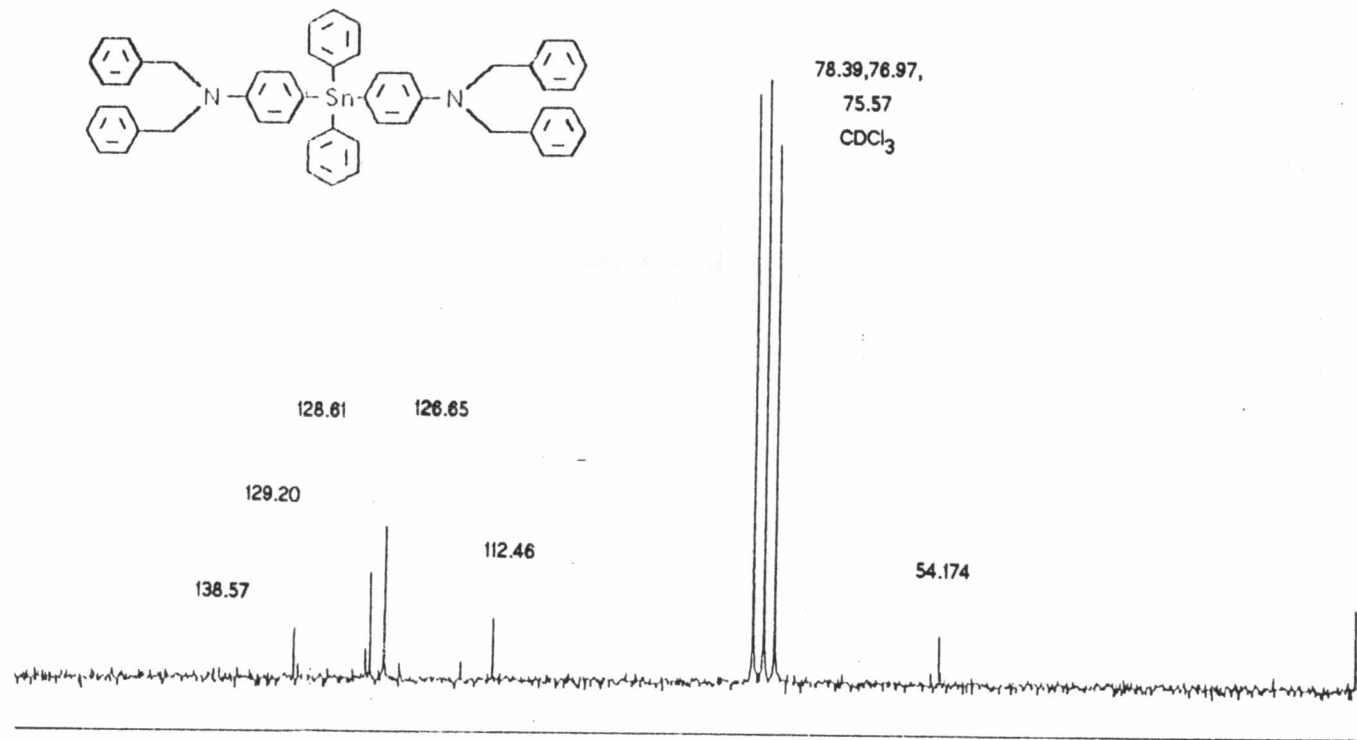
จานวนผู้เก็บข้อมูล 2,3,5,2 (70 eV, m/e)



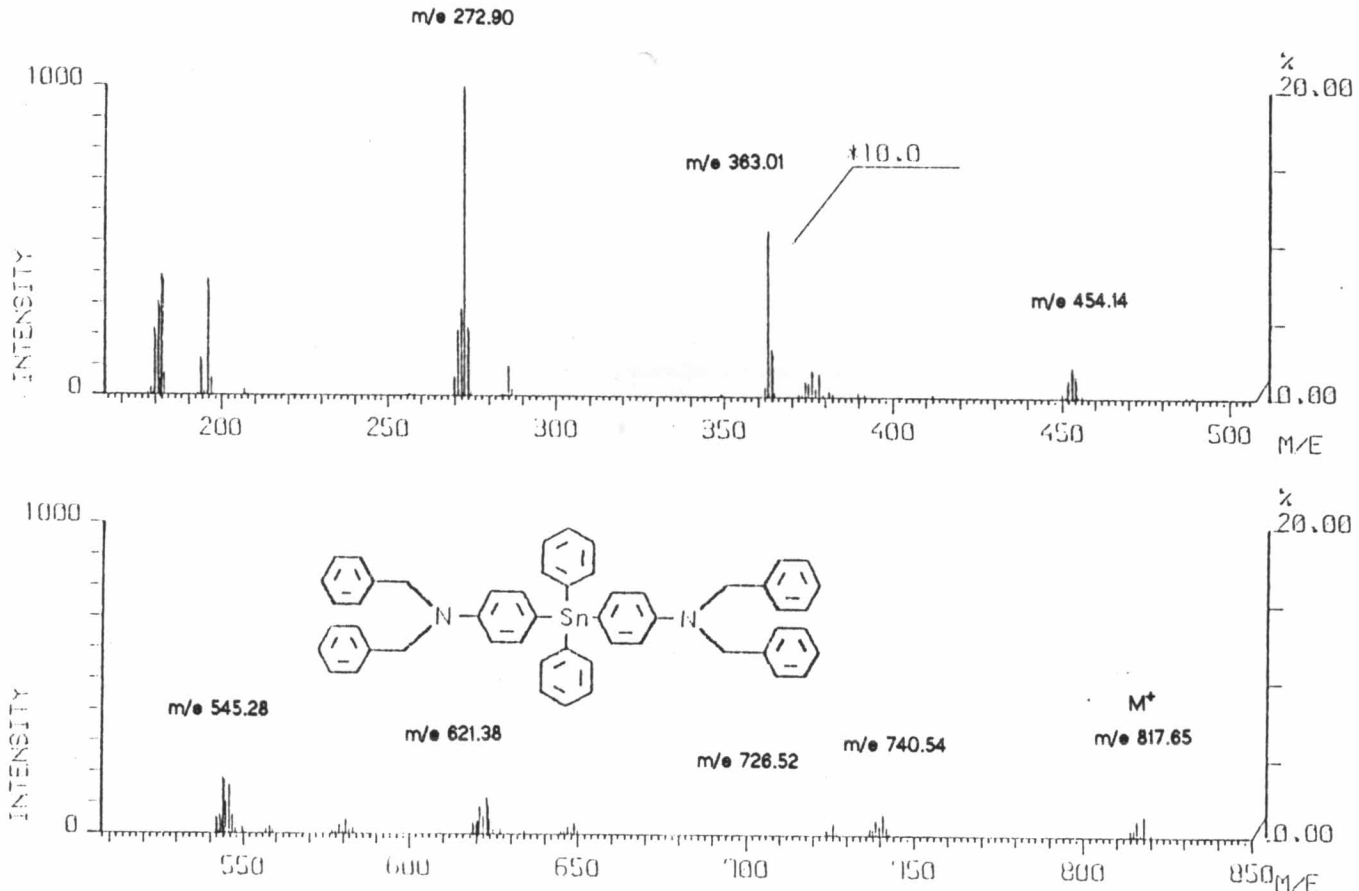
รูปที่ 27 รีบาร์ดสเปกตรัมของสารประกอบ diphenyl di-*p*-dibenzyl aminophenyltin จากปฏิกิริยาที่ 2.3.6 (KBr,  $\text{cm}^{-1}$ )



รูปที่ 28 รูปแสดงนิวเคลียร์แม่การติดต่อของสารประกอบ diphenyl di-*P*-dibenzylaminophenyltin จากปฏิกิริยาที่ 2,3,6 ( $\text{CDCl}_3$ , 8 ppm)

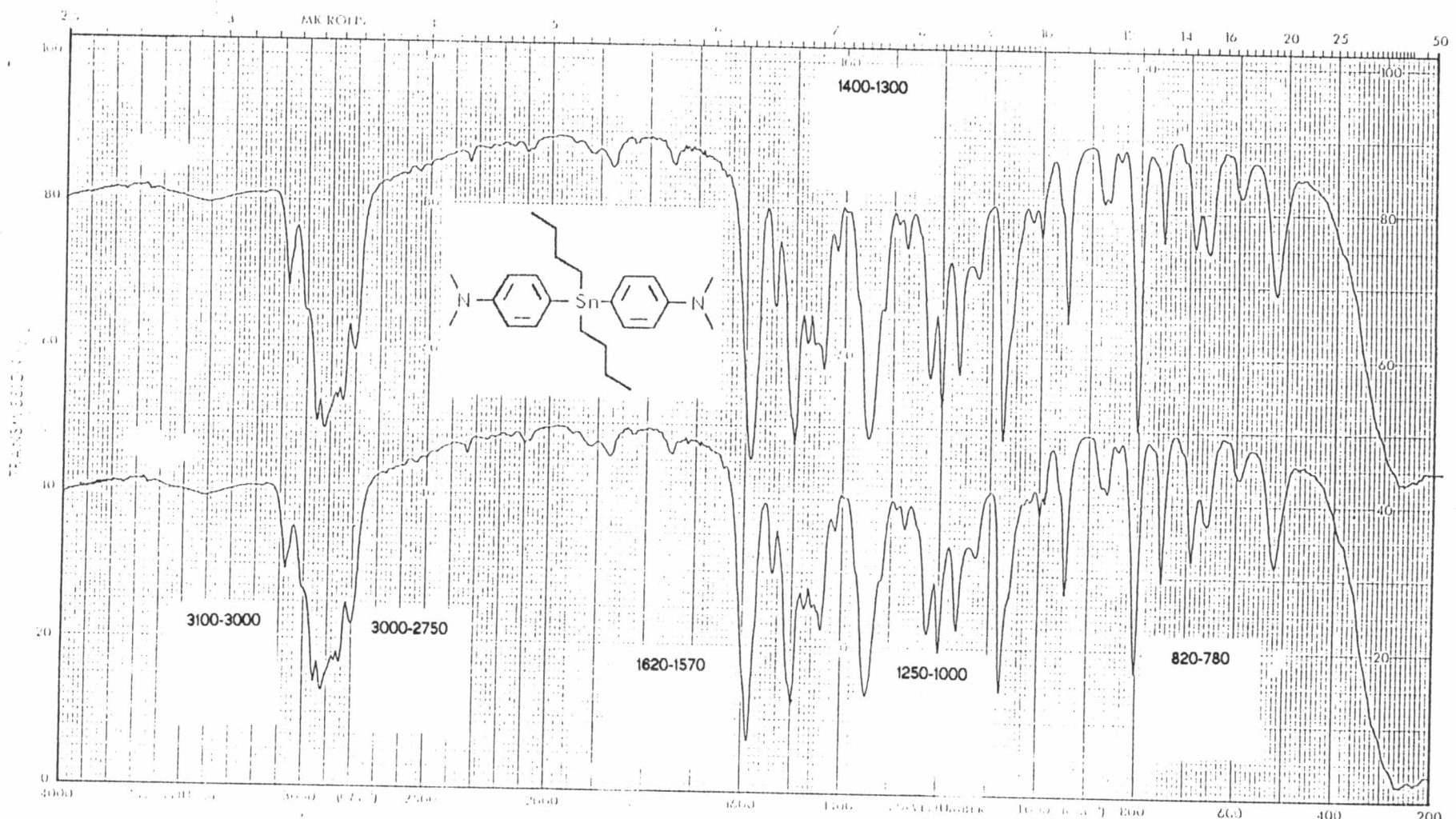


รูปที่ 29 ตารางที่-13 นิวเคลียร์แมกนีติกเรโซນานซ์สเปกตรัมของสารประกอบ diphenyl  
di-*p*-dibenzylaminophenyltin จากปฏิกิริยาที่ 2,3,6 ( $\text{CDCl}_3$ , 8 ppm)

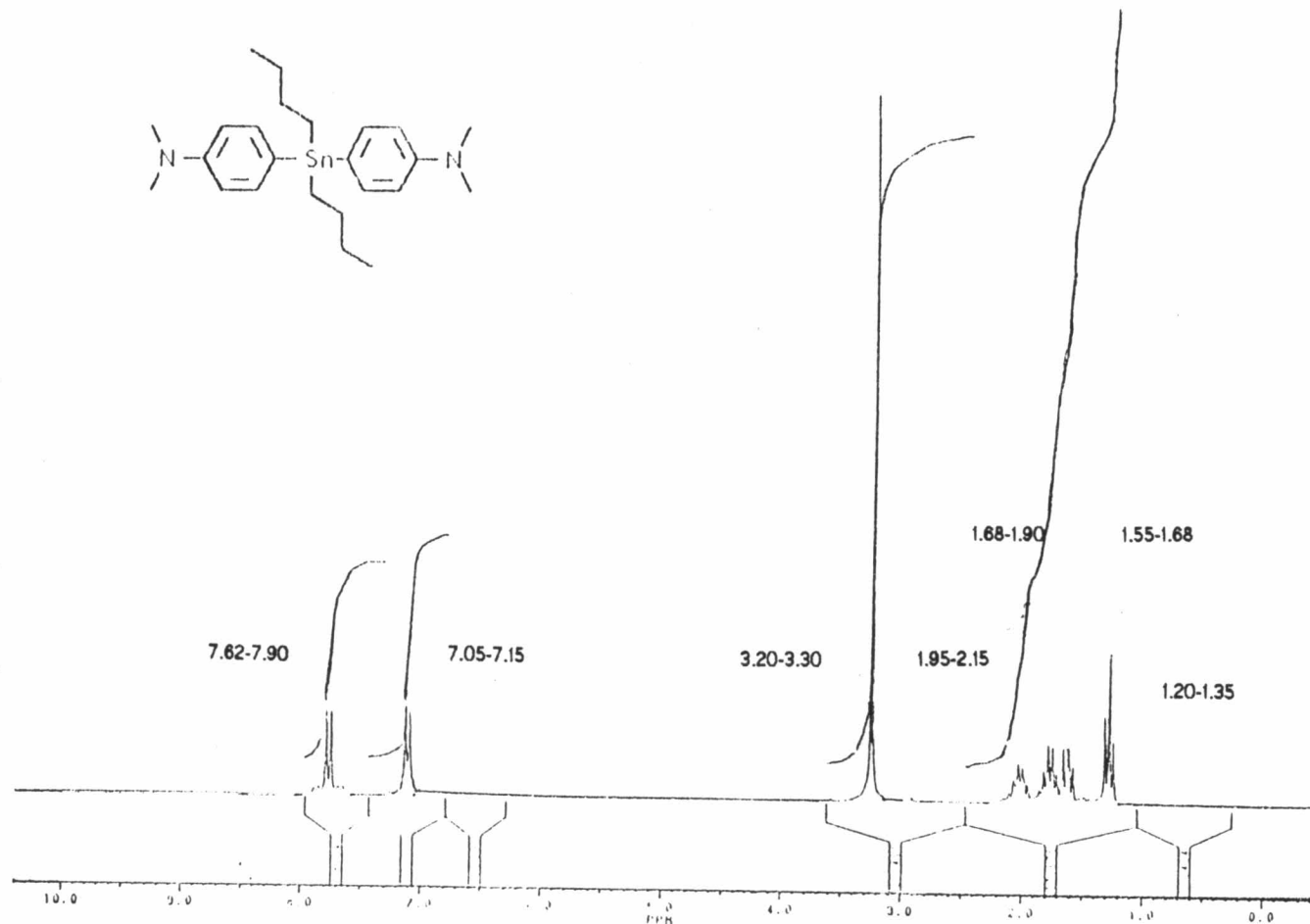


รูปที่ 30 รูปส่วนประกอบของสารปรับก่อเมย diphenyl di-*p*-dibenzylaminophenyltin

จานักผู้บริโภคที่ 2,3,6 (70 eV,  $m/e$ )

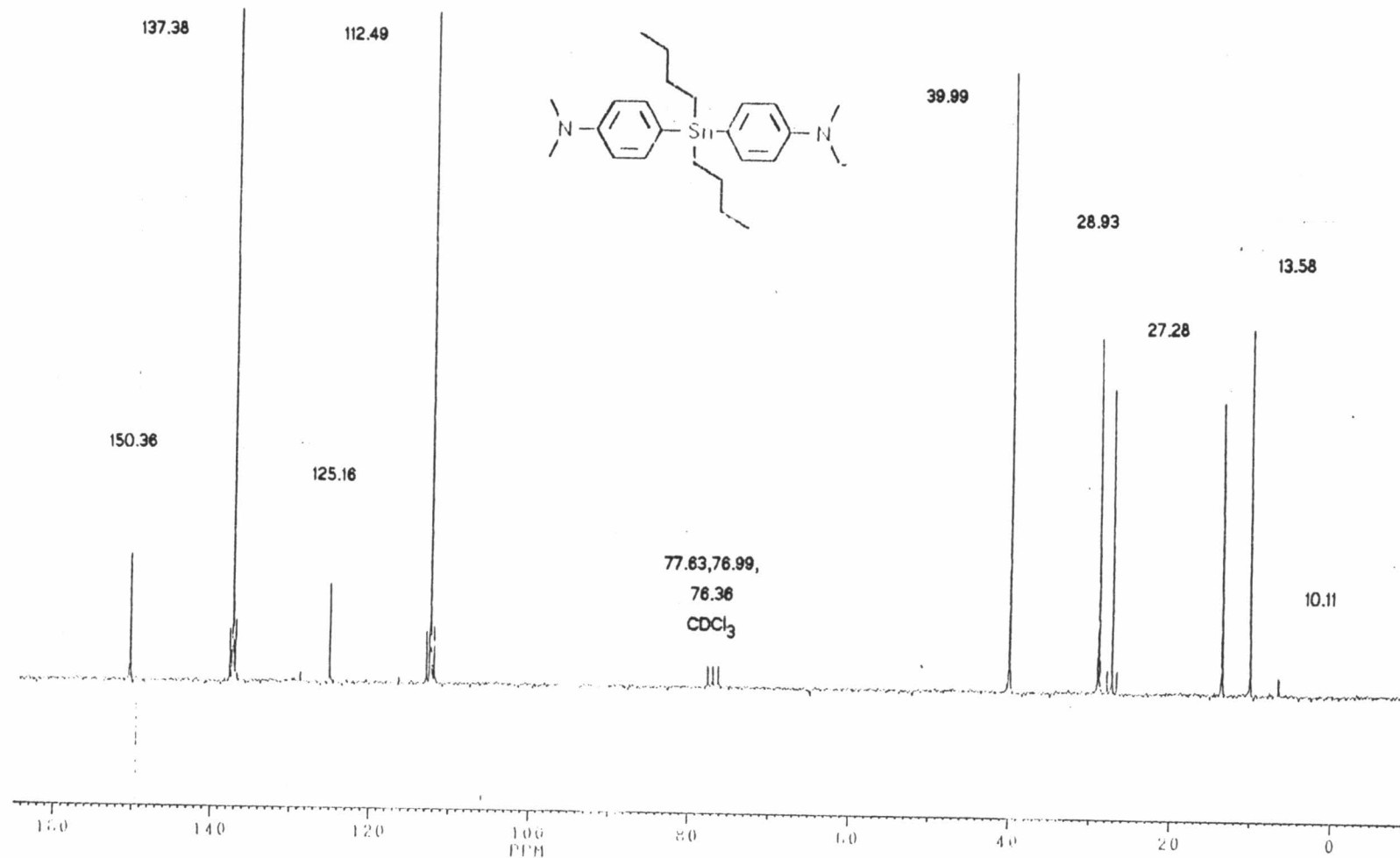


รูปที่ 31 คลื่นเร้าริดสีบล็อกคริมของสารประกอบ dibutyl di-*p*-dimethyl aminophenyltin จามะนิกกิริยาน้ำ  $\text{NaCl}$ ,  $\text{cm}^{-1}$

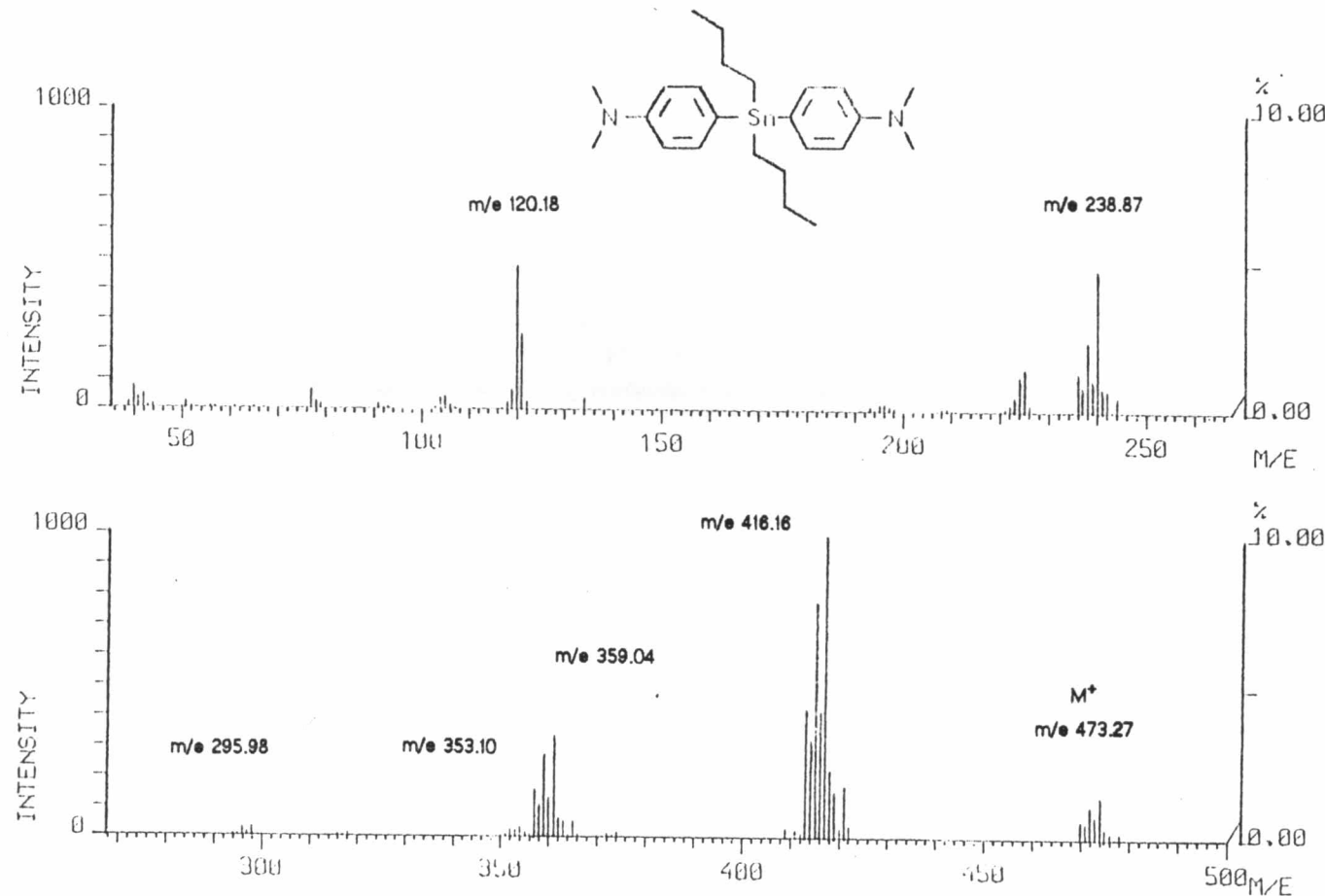


รูปที่ 32 รูปแสดงนิวเคลียร์แมกโนติกเรโซแนนซ์สเปกตรัมของสารประกอบ dibutyl

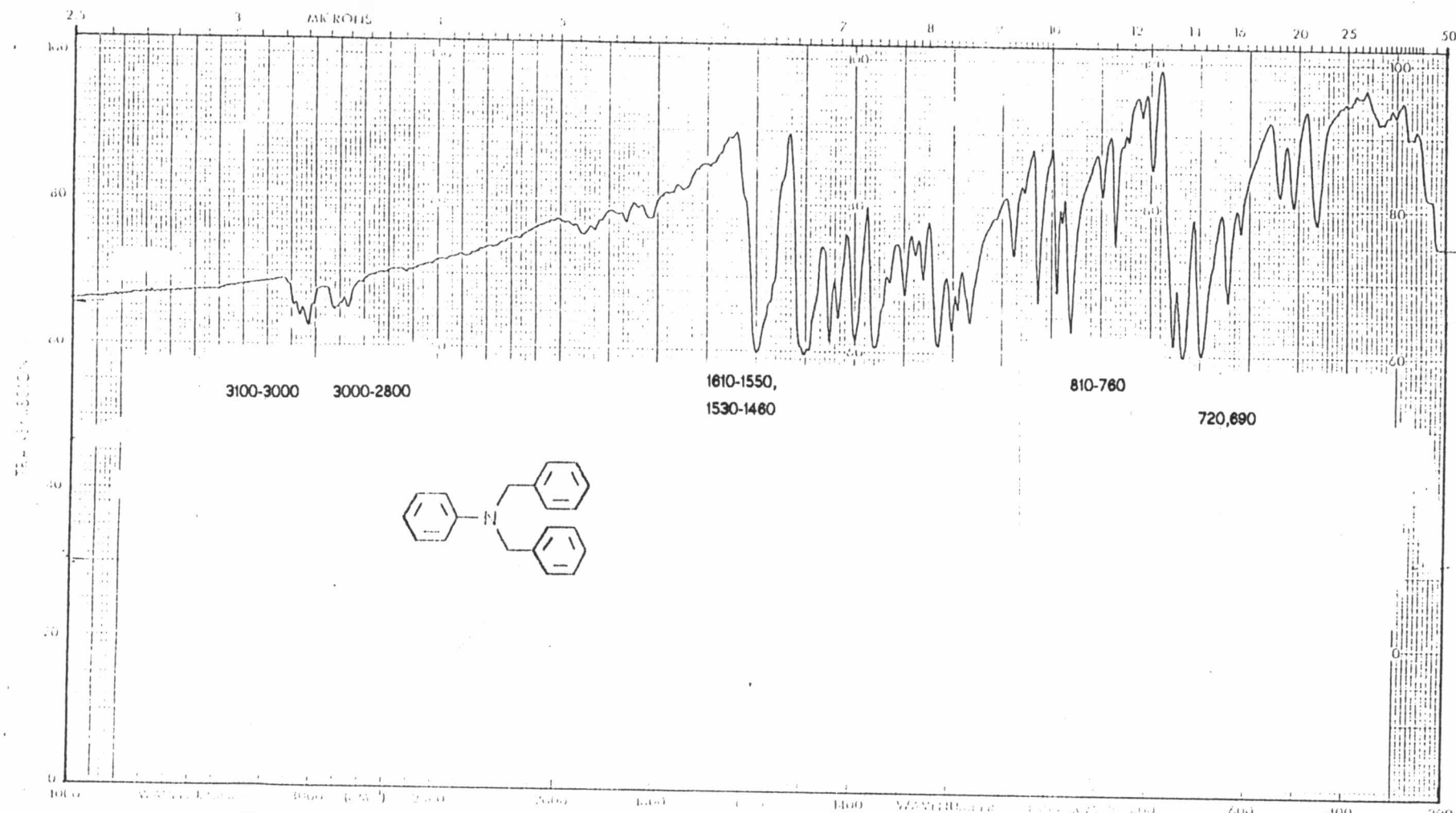
di-*P*-dimethylaminophenyltin จากปฏิกิริยาที่ 2,3,7 ( $\text{CDCl}_3$ , 8 ppm)



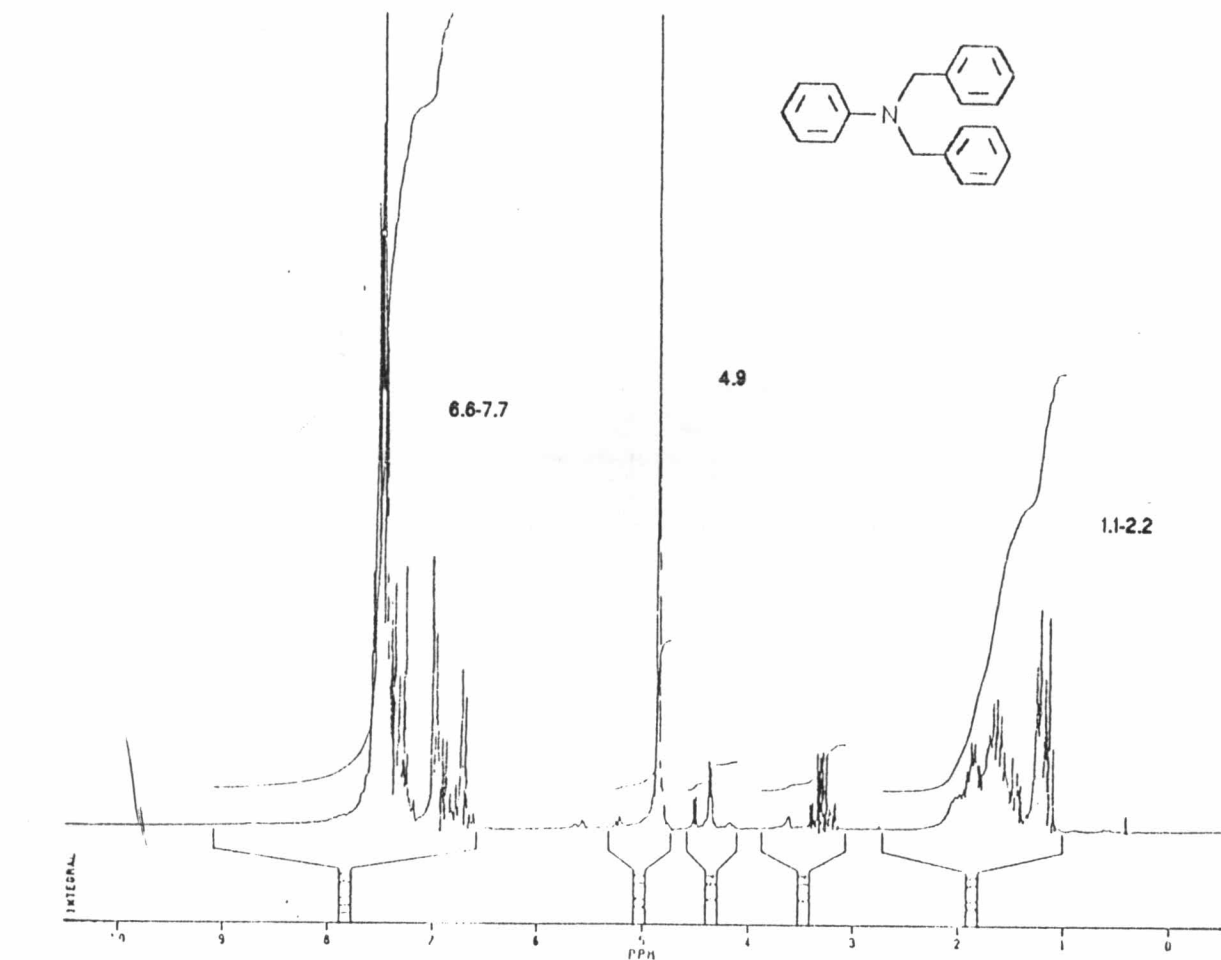
รูปที่ 33 ค่ารับอน-13 นิวเคลียร์แมกโนติกเรโซนแนนซ์สเปกตรัมของสารประกอบ dibutyl di-*p*-dimethylaminophenyltin จากปฏิกิริยาน้ำ 2,3,7 ( $\text{CDCl}_3$ , 8 ppm)



รูปที่ 34 แผนผังสเปกตรัมของสารประกอบ dibutyl di-*p*-dimethylaminophenyltin  
ด้วยอัตราเริบ 2,3,7 (70 eV, m/e)

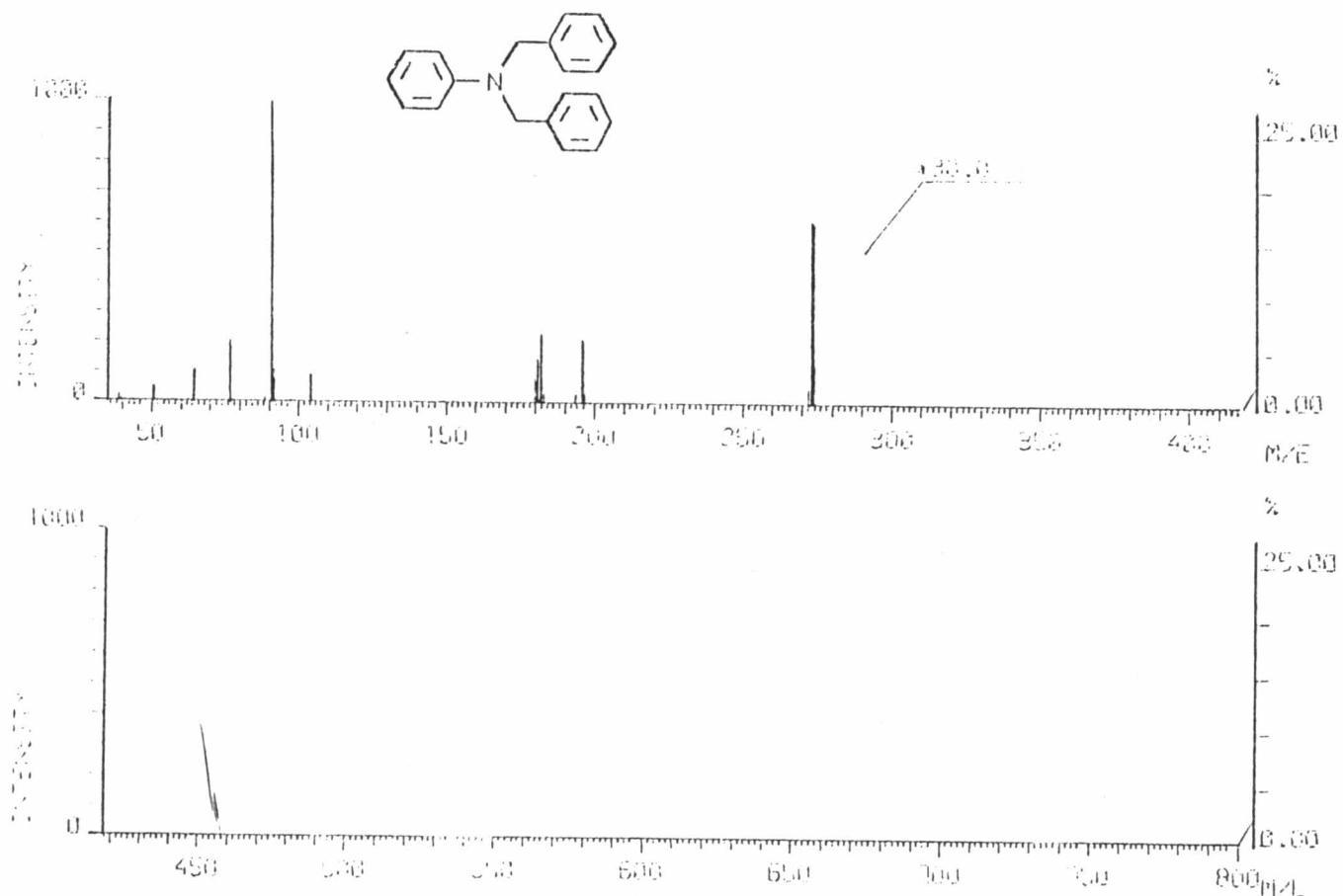


รูปที่ 35 อินฟราเรดสเปกตรัมของสารประกอบ N,N-dibenzylaniline  
จากบุญกิริยาที่ 2.3.8 (KBr,  $\text{cm}^{-1}$ )



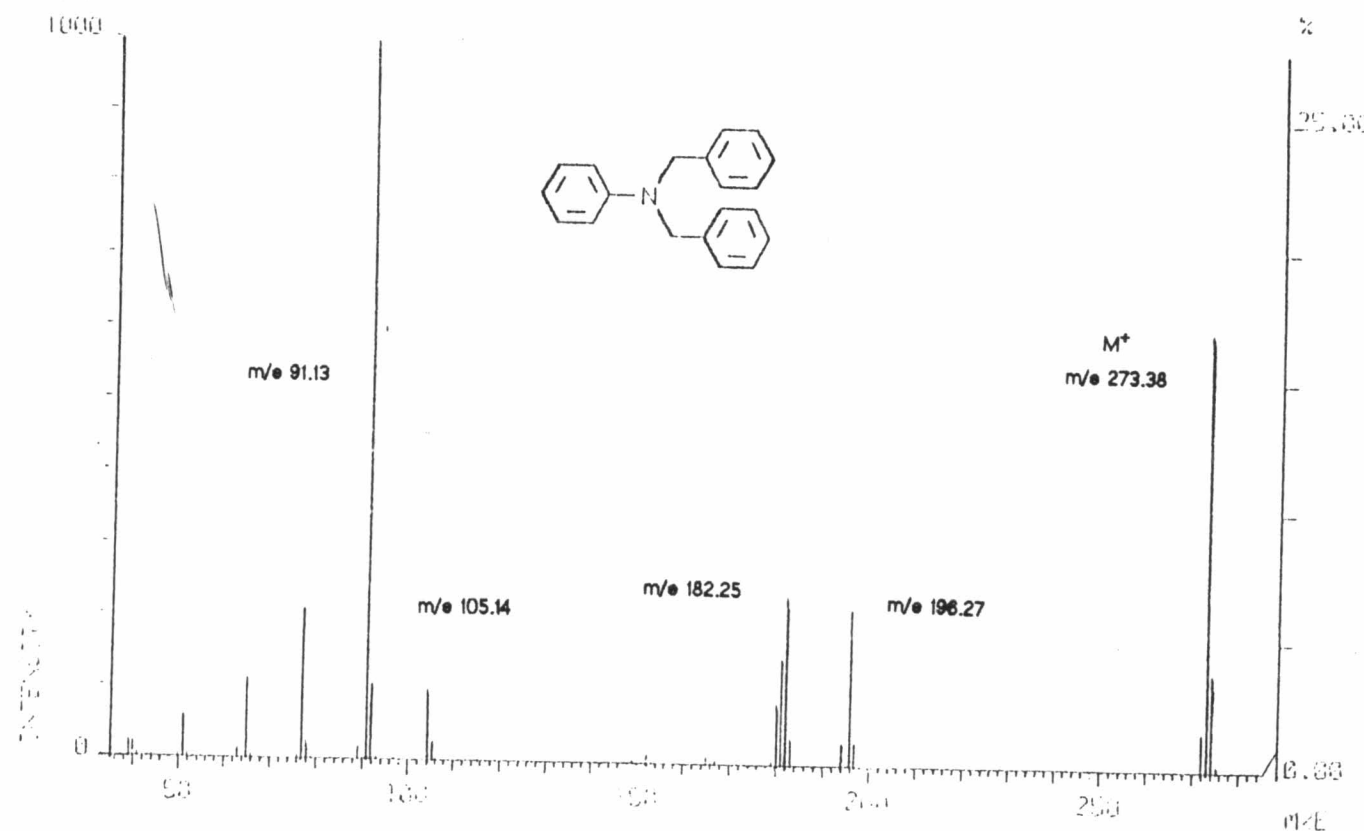
รูปที่ ๓๖ รีปรตตอนนิวเคลียร์แมกเนติกเรโซனนัซส์ ปกติรูปของสารประกอบ

$\text{N},\text{N}$ -dibenzylaniline จากปฏิกิริยาที่ 2.3.8 ( $\text{CDCl}_3$ , 8 ppm)



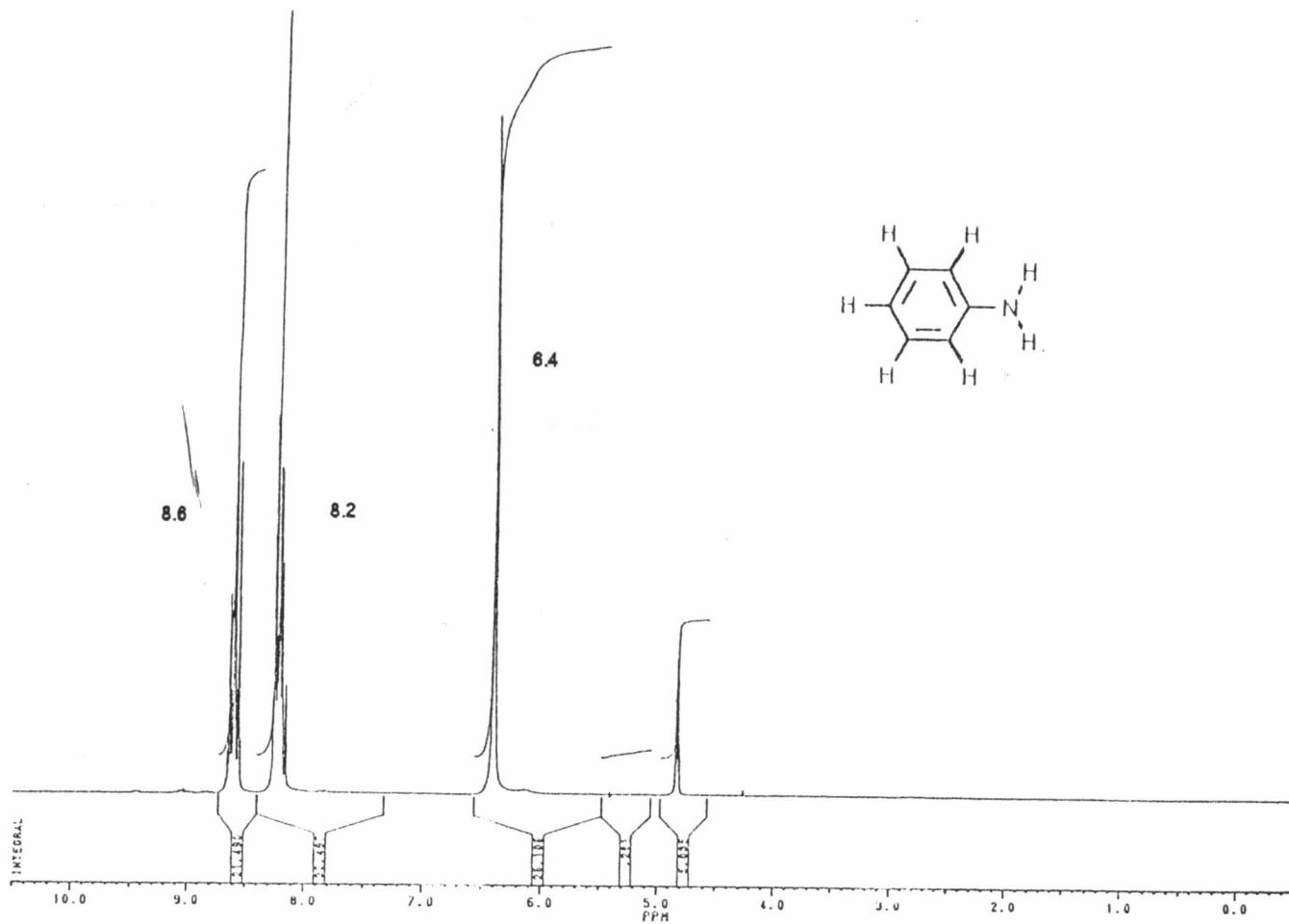
รูปที่ 37 แมสสเปกตรัมของสารบารุงกอน N,N-dibenzylaniline

จากปฏิกิริยาที่ 2.3.8 (70 eV,  $m/e$ )



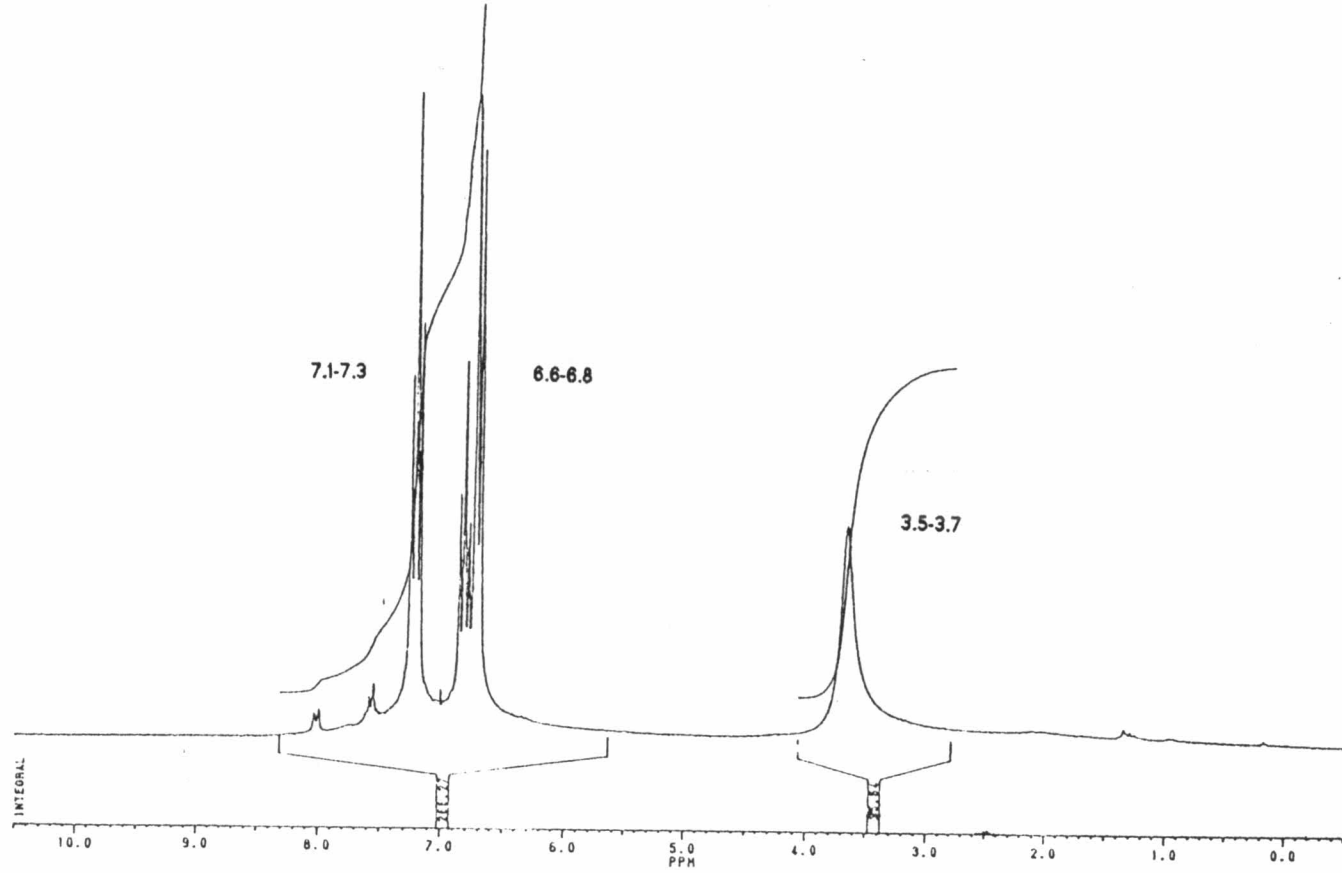
រូប៖ 38 រាយការណ៍បញ្ជីមែនសារប្រចាំកាល N,N-dibenzylaniline

ទាមពិនិត្យម៉ោង 2.3.8 (70 eV,  $m/e$ )

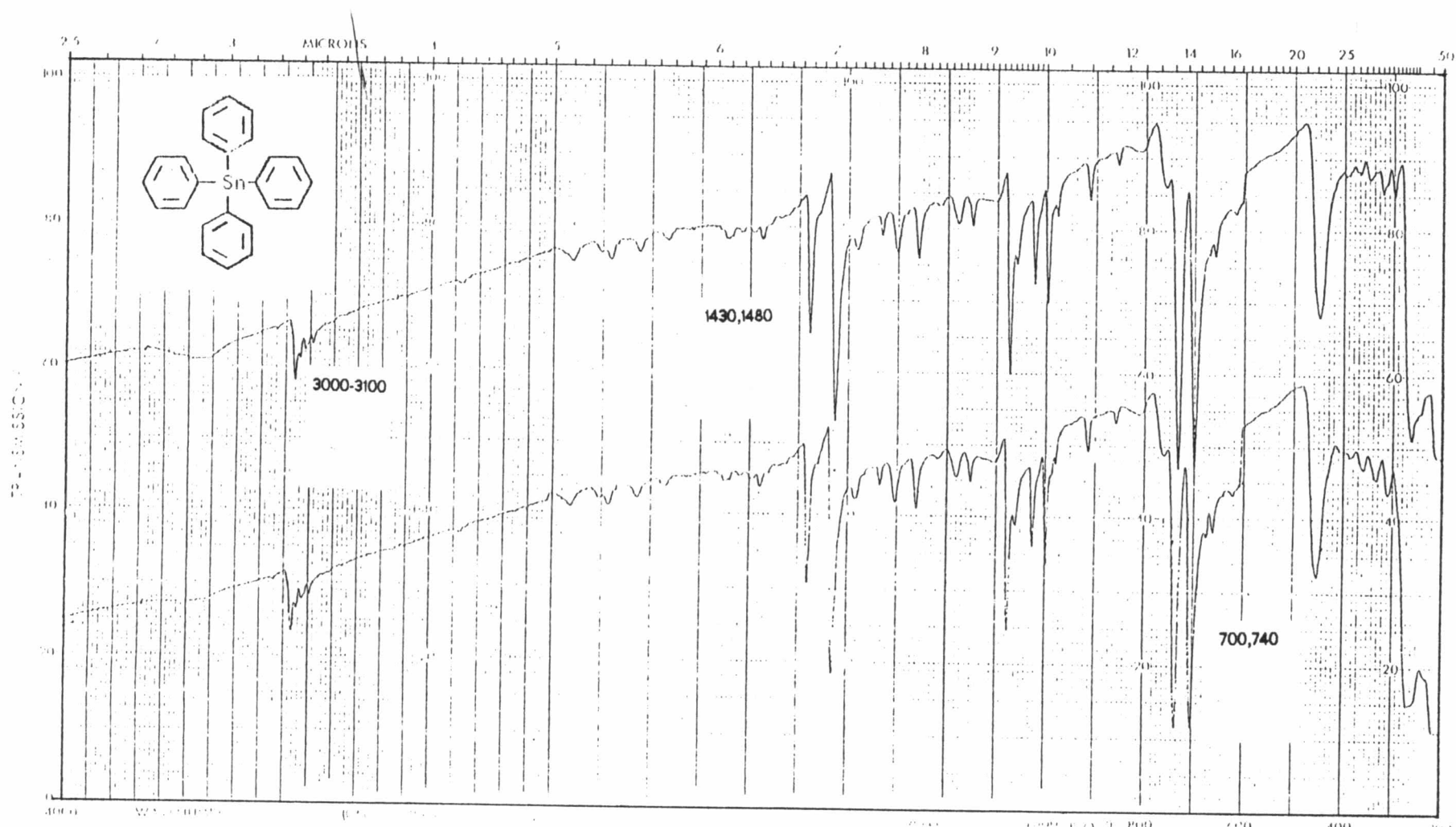


រូបភាព ៣៩ វិបត្តុណិត្យកសិទ្ធិរោងការពិករាងឃន្ល័យស្ថាបកតុវិមុខសារប្រភកុប្ម aniline

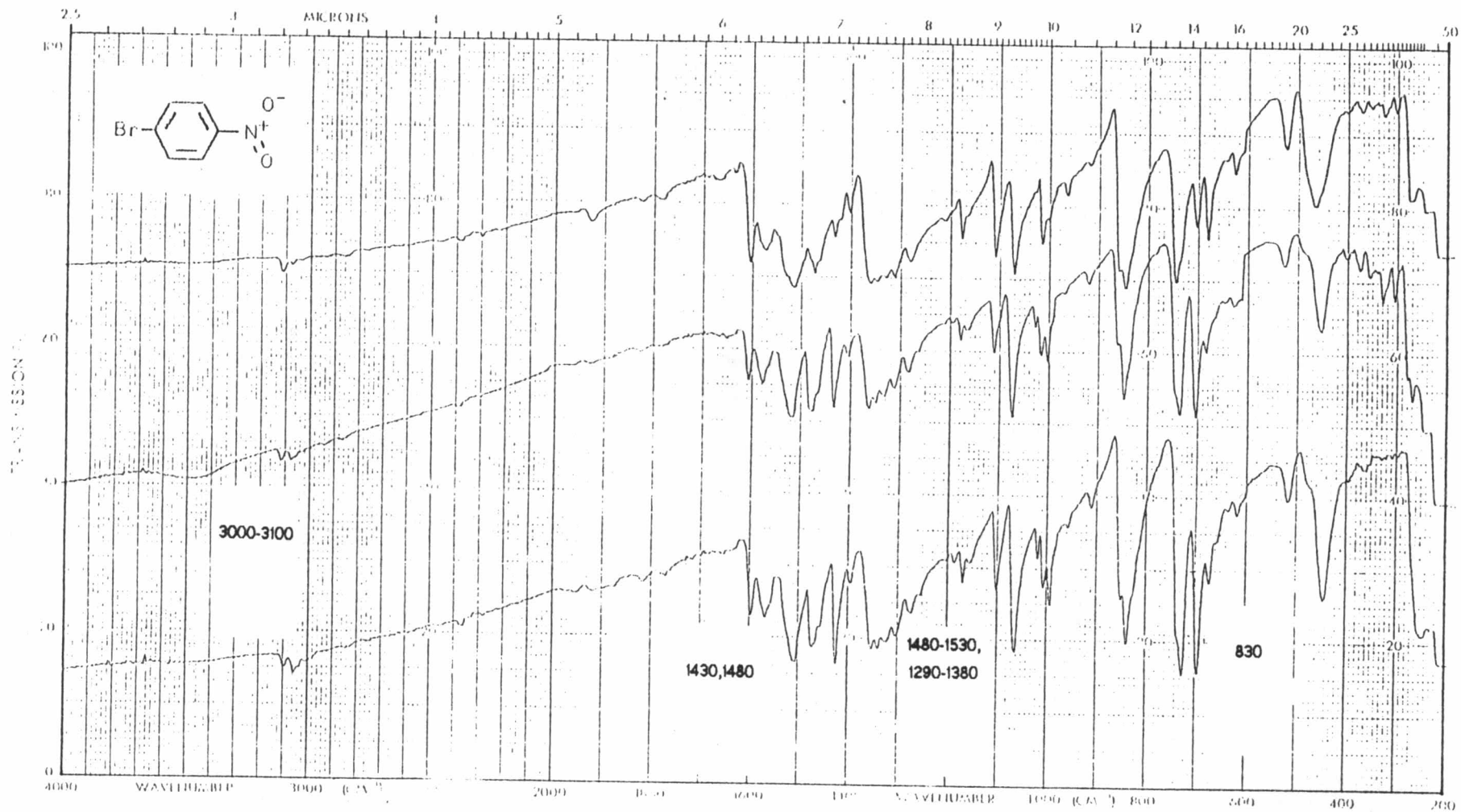
ឧបាស្ថាបីរិយាក់ 2,3,9,1 ( $\text{D}_2\text{O}$ ,  $\delta$  ppm)



รูปที่ 40 รูปแสดงนิรภัยสีรุ้งของสารที่ได้จากการขูดหนังซึ่งปอกครั้งของสารประizable มาก  
เม็ดก้อนที่ 2.3.9.2 ( $\text{CDCl}_3$ ,  $\delta$  ppm)

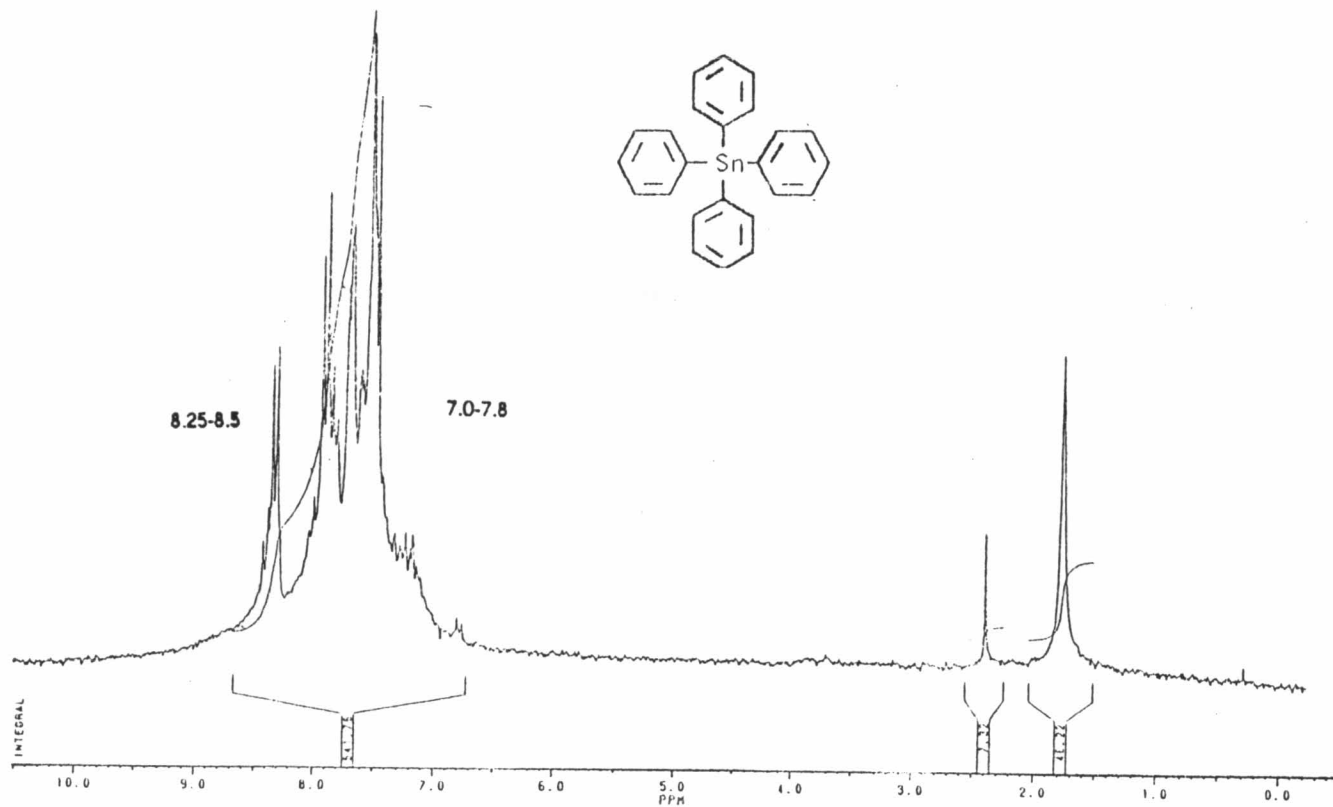


รูปที่ 41 อินฟรา เรดส์เปกตรัมของสารประกอบ ท็อกซิฟิลิกิน ( $\text{Ph}_4\text{Sn}$ ) ที่ได้จาก  
เม็ดกรวยที่ 2, 3, 10 ( $\text{KBr}, \text{cm}^{-1}$ )

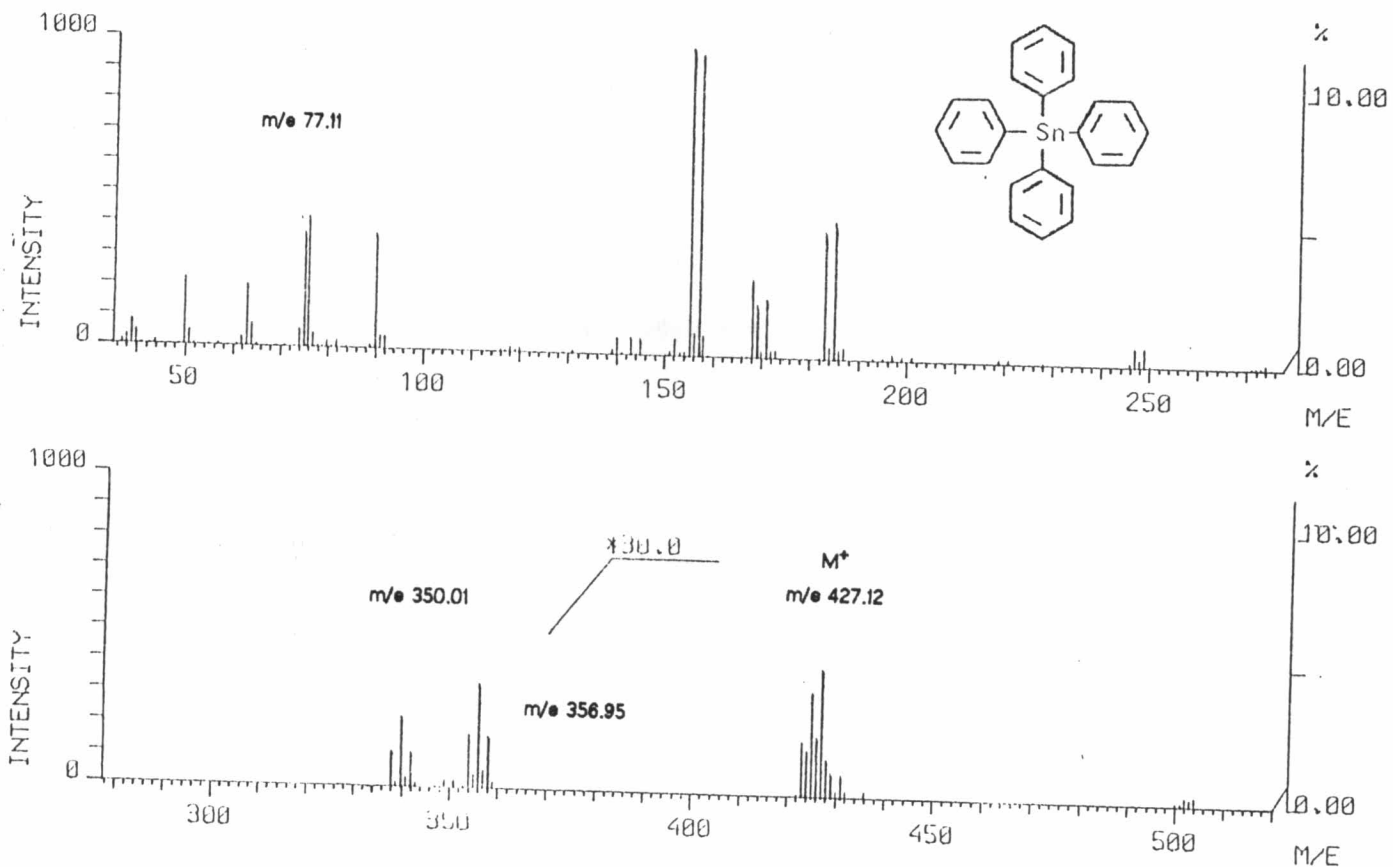


รูปที่ 42 อินฟราเรดสเปกตรัมของสารประกอบ 4-bromo-nitrobenzene

จากปฏิกิริยาที่ 2.3.10 (KBr,  $\text{cm}^{-1}$ )

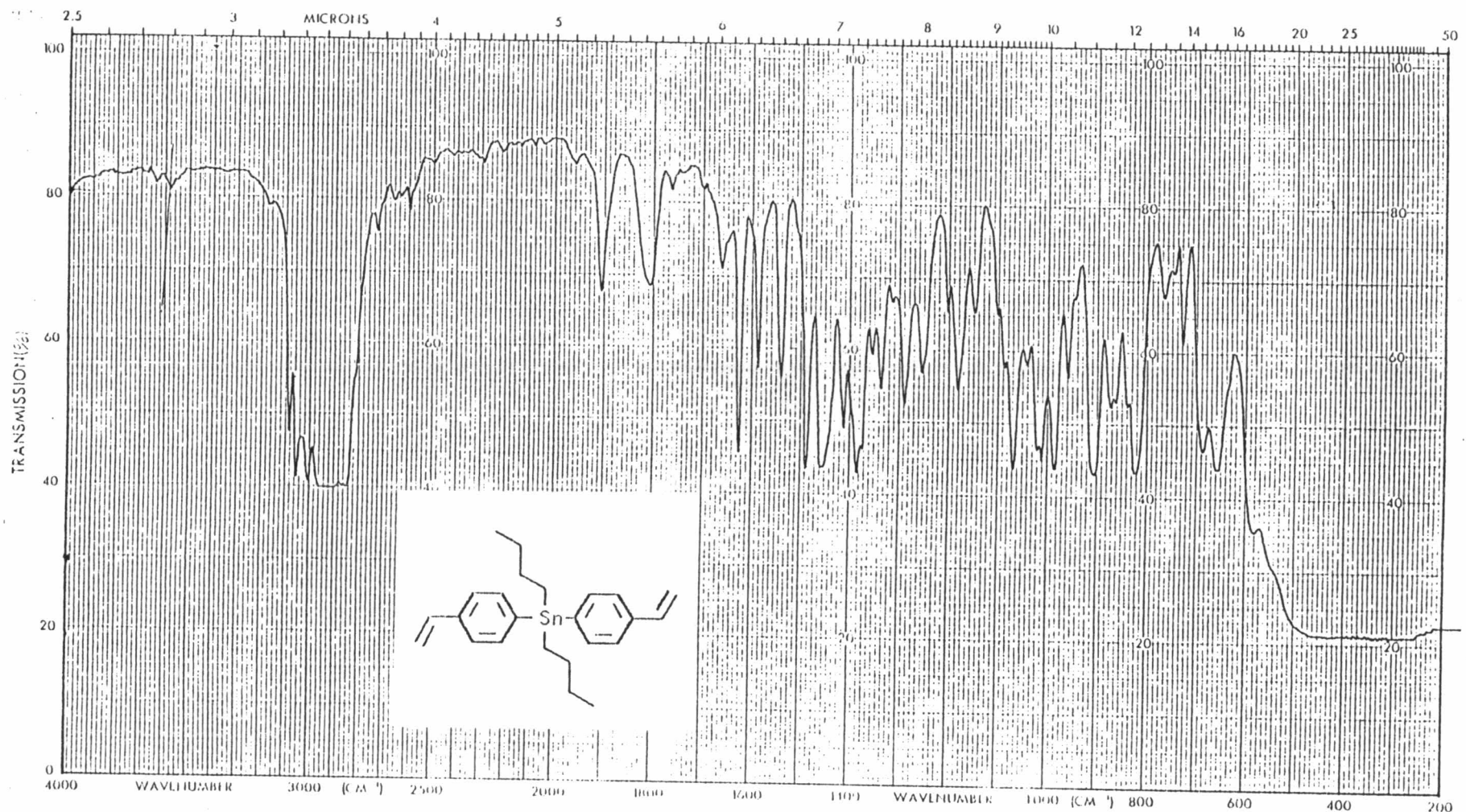


รูปที่ 43 รูปแสดงนิวเคลียร์แม่กานติกาเรโซแยนน์สเปกตรัมของสารประกอบ  
ทักษะฟีโนลิน จากปฏิกิริยาที่ 2,3,10 ( $\text{CDCl}_3$ , 8 ppm)

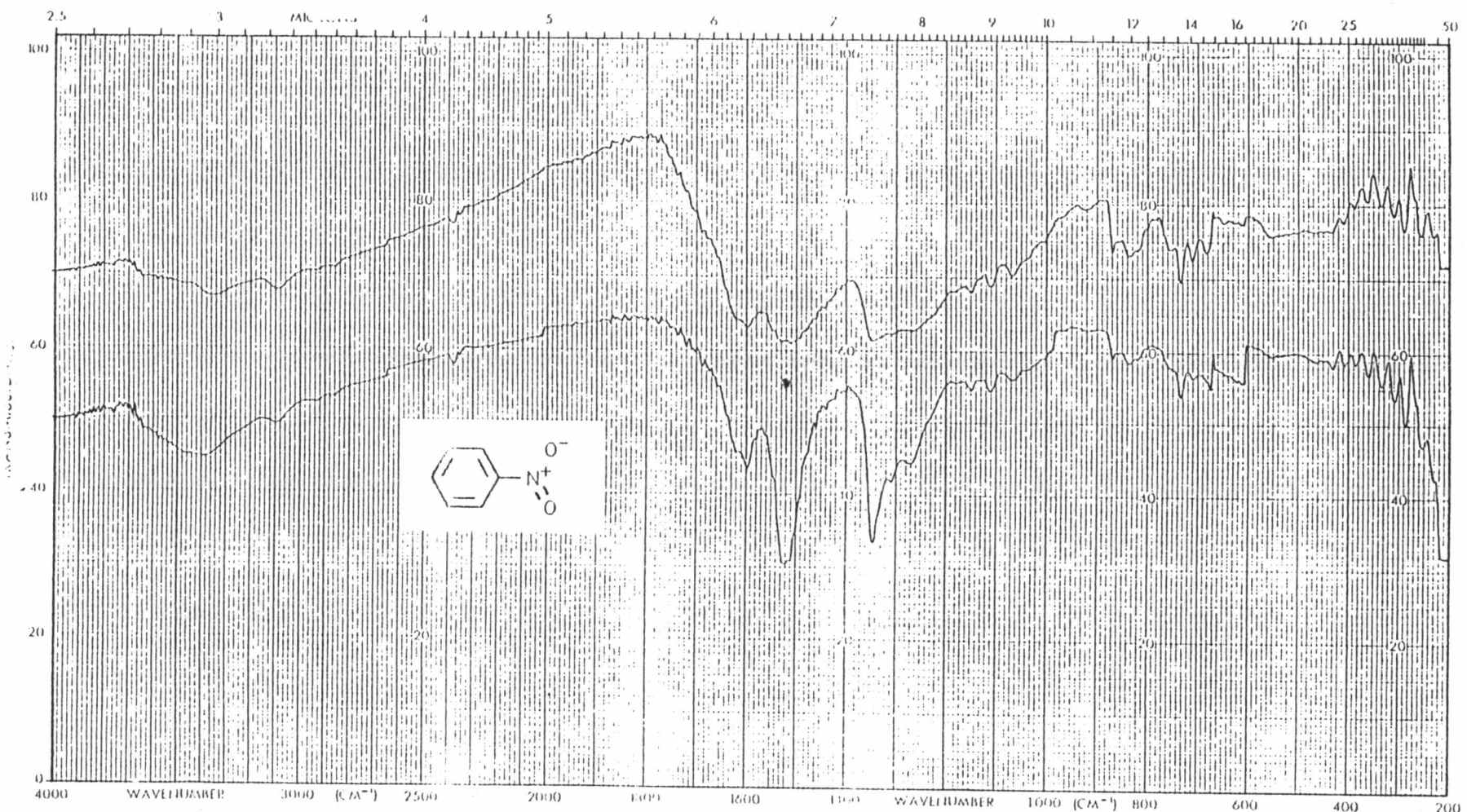


รูปที่ 44 แมสสเปกตรัมของสารประกอบ ท็อคซิฟนิลทิน ( $\text{Ph}_4\text{Sn}$ )

จากการถ่ายรูปที่ 2, 3, 10 (70 eV, m/e)



รูปที่ 45 อินฟราเรดสเปกตรัมของสารประกอบที่ได้จากปฏิกิริยาที่ 2.3.11 ( $\text{NaCl}$ ,  $\text{cm}^{-1}$ )



รูปที่ 46 อินฟราเรดสเปกตรัมของสารประกอบนิโนบีซีน

จ. ก. ปฏิกริยาที่ 2,3,12,1 (NaCl,  $\text{cm}^{-1}$ )

## ประวัติผู้เขียน

เกิดที่จังหวัดอุดรธานีมีพี่น้อง 6 คน เป็นคนโต ศึกษาชั้นประถมที่โรงเรียนรังษีวิทยาชั้นประถมปีที่ 1 ถึงชั้นประถมปีที่ 2 ศึกษาชั้นประถมปีที่ 3 ถึงมัธยมศึกษาปีที่ 3 ที่โรงเรียนดอนบอนสrok และชั้นมัธยมที่โรงเรียนอุดรพิทยานุกูลชั้นมัธศึกษาปีที่ 4 ถึงมัธศึกษาปีที่ 5 ศึกษาสาขาเรื่องระดับปริญญาตรีที่ มหาวิทยาลัยรามคำแหง คณะวิทยาศาสตร์ สาขาเคมี แล้วจึงศึกษาต่อระดับ บริณญา Roth ที่จุฬาลงกรณ์มหาวิทยาลัย ปัจจุบันทำงานที่บริษัท ไทยเทคโนโลยี จำกัด ตำแหน่งวิศวกรเคมี

